

પક્ષીઓનું સ્થળાંતર (MIGRATION OF BIRDS)

પક્ષીઓની સ્થળાંતર પ્રક્રિતિ જીવવિજ્ઞાનના ક્ષેત્રમાંના અને ખરેખર તમામ વિજ્ઞાનના રહસ્યોમાનું એક છે. ઉદાહરણ તરીકે, પ્રત્યેક શિયાળામાં સાઈનિરીયાના પક્ષીઓ ભારતીય ઉપખંડના પાણીના સ્થળો માટે ભૂલ ન થાય તે રીતે ઉડાન ભરે છે. એવું સૂર્યવવામાં આવ્યું છે કે, વિદ્યુતચુંબકીય પ્રેરણ આ સ્થળાંતર પેટર્નનો સંકેત આપી શકે છે. પૃથ્વીનું ચુંબકીયક્ષેત્ર ઉત્કાંતિ ઈતિહાસમાં હર-હંમેશા અસ્તિત્વ ધરાવે છે. દિશા નિર્ધારિત કરવા માટે આ ક્ષેત્રનો ઉપયોગ યાયાવર પક્ષીઓને મહત્તમ લાભદાયી હોઈ શકે છે. જ્યાં સુધી આપણે જાળીએ છીએ ત્યાં સુધી પક્ષીઓમાં કોઈ લોહચુંબકીય પદાર્થ નથી. તેથી વિદ્યુતચુંબકીય પ્રેરણ એ દિશા નિર્ધારિત કરવાની એકમાત્ર યોગ્ય પ્રક્રિતિ જણાય છે. શ્રેષ્ઠ દ્રાસ્ટિકાણને ધ્યાનમાં લો કે જ્યાં ચુંબકીયક્ષેત્ર **B** પક્ષીનો વેગ **v** અને એના શરીરરચનાના બે સંબંધિત બિંદુઓ વચ્ચેનું અંતર **I** એ ત્રાણે પરસ્પર લંબ છે. ગતિકીય *emf* માટેના સૂત્ર સમીકરણ (6.5) પરથી,

$$\epsilon = Blv$$

$$B = 4 \times 10^{-5} T, l = 2 \text{ cm} \text{ પહોળાઈ અને } v = 10 \text{ m/s લેવાથી, આપણાને}$$

$$\epsilon = 4 \times 10^{-5} \times 2 \times 10^{-2} \times 10 \text{ V} = 8 \times 10^{-6} \text{ V}$$

$$= 8 \mu\text{V મળે છે.}$$

આ અત્યંત નાનો સ્થિતિમાન તફાવત સૂચવે છે કે આપણી પૂર્વધારણા શંકાસ્પદ માન્યતા ધરાવે છે. કેટલાંક પ્રકારની માઇલીઓ નાના સ્થિતિમાન તફાવતો શોધી શકે છે. જો કે, આ માઇલીમાં ખાસ કોશિકાઓ ઓળખી કાઢવામાં આવી છે જે નાના વોલ્ટેજ તફાવતોને શોધે છે. પક્ષીઓમાં આવી કોશિકાઓની ઓળખ થઈ શકી નથી. આમ, પક્ષીઓની સ્થળાંતર પેટર્ન રહસ્યમય છે.

સારાંશ

- સમાન ચુંબકીયક્ષેત્ર **B**માં મૂકવામાં આવેલ **A** ક્ષેત્રફળની સપાટી સાથે સંકળાયેલ ચુંબકીય ફૂલક્સ

$$\Phi_B = \mathbf{B} \cdot \mathbf{A} = BA \cos\theta$$

વડે વ્યાખ્યાયિત કરવામાં આવે છે. જ્યાં, θ એ **B** અને **A** વચ્ચેનો ખૂણો છે.

- ફેરેના પ્રેરણના નિયમો એમ સૂચવે છે કે, **N** આંટાઓવાળા ગુંચળામાં પ્રેરિત *emf* તેમાંના ફૂલક્સના ફેરફારના દર સાથે સીધો સંબંધ ધરાવે છે.

$$\epsilon = -N \frac{d\Phi_B}{dt}$$

અહીં, Φ_B એ ગુંચળાના એક આંટા સાથે સંકળાયેલા ફૂલક્સ છે. જો પરિપથ બંધ હોય તો, વિદ્યુતપ્રવાહ **I** = E/R તેમાં પ્રસ્થાપિત થાય છે. જ્યાં, **R** એ પરિપથનો અવરોધ છે.

- લેન્જનો નિયમ જણાવે છે કે, પ્રેરિત *emf* નું ધ્રુવત્વ (પોલરિટી) એવું હોય છે કે તે એવો વિદ્યુતપ્રવાહ પેદા કરે છે કે જે તેને ઉત્પન્ન કરનારા ચુંબકીય ફૂલક્સના ફેરફારનો વિરોધ કરે છે. ફેરેના નિયમના સૂત્રમાં ઝાણ ચિહ્નન આ હકીકત દર્શાવે છે.

- જ્યારે 1 લંબાઈના ધાતુના એક સંજિયાને એક સમાન ચુંબકીયક્ષેત્ર **B**માં લંબ મૂકવામાં આવે છે અને વેગ **v** સાથે આ ક્ષેત્રને લંબ ખસેડવામાં આવે છે ત્યારે તેના છેડાઓમાં પ્રેરિત *emf* (જે ગતિકીય *emf* કહેવાય છે)

$$\epsilon = Blv \text{ છે.}$$

- બદલાતાં જતાં ચુંબકીયક્ષેત્રો તેની નજીકના ધાતુ (કોઈપણ વાહક)ના પદાર્થોમાં પ્રવાહ ગાળાઓ પ્રસ્થાપિત કરી શકે છે. તેઓ વિદ્યુત ઊર્જાનો ઉભા તરીકે બ્યય કરે છે. આવા પ્રવાહોને ઘૂમરી પ્રવાહો (એડી પ્રવાહો) કહેવામાં આવે છે.

- પ્રેરકત્વએ સંલગ્ન (સંકળાયેલ) ફૂલક્સ અને પ્રવાહનો ગુણોત્તર છે. તે $N\Phi/I$ ની બરાબર છે.

7. ગૂંચળા (ગૂંચળા-2)માં બદલાતો પ્રવાહ તેની નજીકના ગૂંચળા (ગૂંચળા-1)માં emfને પ્રેરિત કરી શકે છે. આ સંબંધને

$$\varepsilon_1 = -M_{12} \frac{dI_2}{dt}$$

દ્વારા આપવામાં આવે છે. રાશિ M_{12} ને ગૂંચળા-2ના સાપેક્ષે ગૂંચળા-1નું અન્યોન્ય-પ્રેરકત્વ કહેવામાં આવે છે. આવી જ રીતે તમે M_{21} ની વ્યાખ્યા પણ કરી શકો છો. $M_{12} = M_{21}$ એક વ્યાપક સામ્યતા રહેલી છે.

8. જ્યારે કોઈ ગૂંચળામાંના પ્રવાહમાં ફેરફાર થાય છે, ત્યારે તે તેજ ગૂંચળામાં બેક emf પ્રેરિત છે. આ આત્મ-પ્રેરિત emf

$$\varepsilon = -L \frac{dI}{dt}$$

દ્વારા આપવામાં આવે છે. L એ ગૂંચળાનું આત્મ-પ્રેરકત્વ છે. જે તેમાંના તેના પ્રવાહના ફેરફારની વિરુદ્ધમાં ગૂંચળાના જડત્વનું માપ છે.

9. જેનો ગર્ભ સાપેક્ષ પરમીએબિલિટી μ_r ધરાવતું ચુંબકીય દ્રવ્ય ધરાવે છે તેવા લાંબા સોલેનોઇડનું આત્મ-પ્રેરકત્વ

$$L = \mu_r \mu_0 n^2 A l$$

દ્વારા આપવામાં આવે છે. જ્યાં, A એ સોલેનોઇડના આડછેદનું ક્ષેત્રફળ છે, તેની લંબાઈ 1 અને n એ એકમ લંબાઈમાં આંટાઓની સંખ્યા છે.

10. ac જનરેટરમાં, યાંત્રિક ઉર્જા વિદ્યુતચુંબકીય પ્રેરણની ઘટનાથી વિદ્યુતઉર્જામાં રૂપાંતરિત થાય છે. જો N આંટાઓ અને A ક્ષેત્રફળવાળા ગૂંચળાને સમાન ચુંબકીયક્ષેત્ર Bમાં v જેટલા પરિભ્રમણ પ્રતિ સેકન્ડ સાથે ધૂમાવવામાં આવે છે, તો ઉત્પન્ન ગતિકીય emf.

$$\varepsilon = NBA(2\pi v) \sin(2\pi vt) \text{ છે.}$$

જ્યાં, આપણે ધારણા કરી છે કે, $t=0$ s સમયે એ ગૂંચળાનું ક્ષેત્રને લંબ છે.

રાશિ	પ્રતિક	એકમ	પરિમાણ	સૂત્ર
ચુંબકીય ફ્લૂક્સ	Φ_B	Wb (weber)	$[ML^2 T^{-2} A^{-1}]$	$\Phi_B = \mathbf{B} \cdot \mathbf{A}$
emf	ε	V (volt)	$[ML^2 T^{-3} A^{-1}]$	$\varepsilon = -d(N\Phi_B)/dt$
અન્યોન્ય-પ્રેરકત્વ (Mutual Inductance)	M	H (henry)	$[ML^2 T^{-2} A^{-2}]$	$\varepsilon_1 = -M_{12}(dI_2/dt)$
આત્મ-પ્રેરકત્વ (Self Inductance)	L	H (henry)	$[ML^2 T^{-2} A^{-2}]$	$\varepsilon = -L(dI/dt)$

ગણ વિચારણાના મુદ્દાઓ

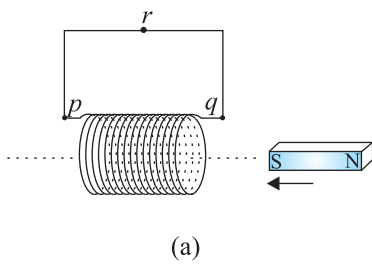
- વિદ્યુત અને ચુંબકત્વ પરસ્પર ગાઢ સંબંધ ધરાવે છે. ઓગાણીસમી સદીના પ્રારંભિક ભાગમાં, ઓસ્ટેન્ડ, ઑમ્પિયર અને અન્ય વિજ્ઞાનીઓના પ્રયોગોએ પ્રસ્થાપિત કર્યું કે, ગતિમાન વિદ્યુતભાર (પ્રવાહ) ચુંબકીયક્ષેત્ર પેદા કરે છે. ત્યારબાદ 1830ની આસપાસ, ફેરેન્ટ અને હેન્રીના પ્રયોગોએ દર્શાવ્યું કે ગતિમાન ચુંબક વિદ્યુતપ્રવાહને પ્રેરિત કરી શકે છે.
- બંધ પરિપથમાં, વિદ્યુતપ્રવાહ એવી રીતે પ્રેરિત થાય છે કે જે ચુંબકીય ફ્લૂક્સના ફેરફારનો વિરોધ કરે. તે ઉર્જા સંરક્ષણના નિયમ મુજબ છે. જો કે, ખુલ્લા પરિપથના કિરસામાં, emf

તેના છેડાઓ પર પ્રેરિત થાય છે. તે ફ્લક્સના ફેરફાર સાથે કેવી રીતે સંબંધિત છે ?

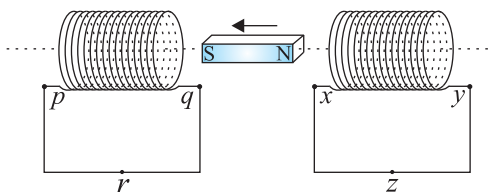
3. પરિચ્છેદ 6.5માં ચર્ચેલ ગતિકીય emf ની દલીલ ફેરેના નિયમથી સ્વતંત્ર રીતે ગતિમાન વિદ્યુતભાર પર લાગતા લોરેન્ઝ બળનો ઉપયોગ કરીને પણ કરી શકાય છે. જો કે, ભલે વિદ્યુતભારો સ્થિર હોય (અને લોરેન્ઝ બળનું પદ $q(\mathbf{v} \times \mathbf{B})$ કાર્યરત ન હોય તો પણ), સમય-આધારિત ચુંબકીયક્ષેત્રની હાજરીમાં emf પ્રેરિત થાય છે. આ રીતે, ફેરેના નિયમમાં, ગતિમાન વિદ્યુતભારો સ્થિત ક્ષેત્રમાં અને સ્થિત વિદ્યુતભારો સમય સાથે બદલાતાં ક્ષેત્રમાં હોય એ સંમિત (Symmetric) સ્થિતિ હોવાનું જણાય છે. આ ફેરેના નિયમ માટે સાપેક્ષતાના સિદ્ધાંતની સુસંગતતા અંગે તટસ્થ સંકેત આપે છે.
4. ચુંબકીય ધ્રુવો વચ્ચે તાંબાની ખેટને જ્યારે દોલન કરવા દેવામાં આવે છે, ત્યારે તેની ગતિ અવમંદિત થાય છે. ઘૂમરી (એડી) પ્રવાહો દ્વારા અવમંદિત બળ કેવી રીતે ઉત્પન્ન થાય છે ?

સ્વાધ્યાય

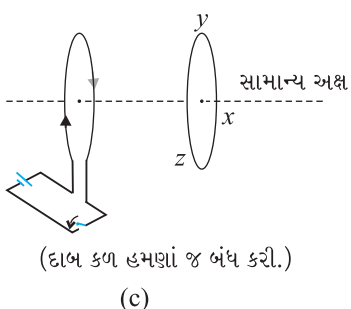
- 6.1** નીચેની આકૃતિઓ 6.18 (a) થી (f) દ્વારા વર્ણવેલ પરિસ્થિતિઓમાં પ્રેરિત વિદ્યુતપ્રવાહની દિશા જણાવો.



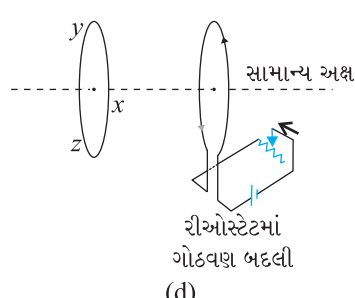
(a)



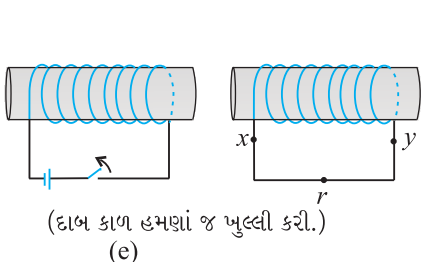
(b)



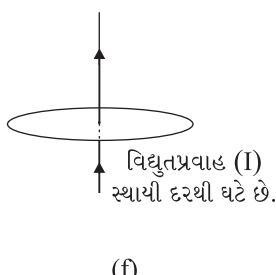
(c)



(d)



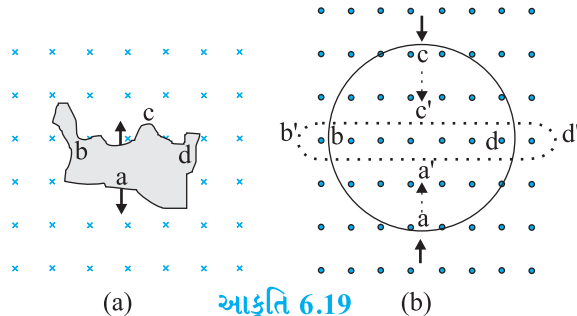
(e)



(f)

- 6.2** આકૃતિ 6.19 દ્વારા વર્ણવેલ પરિસ્થિતિઓમાં પ્રેરિત વિદ્યુતપ્રવાહની દિશા નક્કી કરવા માટે લેન્જના નિયમનો ઉપયોગ કરો.

- (a) એક અનિયમિત આકારના તાર, વર્તુળાકારમાં ફેરવાય છે.
 (b) એક વર્તુળાકાર ગાળો એક પાતળા સીધા તારમાં વિરુપિત થાય છે.



આકૃતિ 6.19

- 6.3** 15 આંટાઓ પ્રતિ cm વાળા એક લાંબા સોલેનોઇડમાં, તેની અક્ષને સમાંતર સોલેનોઇડની અંદર 2.0 cm^2 ક્ષેત્રફળ ધરાવતા એક નાનો ગાળો મુકેલ છે. જો સોલેનોઇડમાં વહેતો વિદ્યુતપ્રવાહ 0.1 s માં 2.0A થી 4.0A સ્થાયી રીતે બદલાય તો વિદ્યુતપ્રવાહમાં ફેરફાર વખતે ગાળામાં પ્રેરિત emf કેટલું હશે?

- 6.4** 8 cm અને 2 cm બાજુઓવાળા અને એક નાનો કાપો (Cut) ધરાવતા એક લંબચોરસ તારનો ગાળો 0.3 T ની તીવ્રતાના અને ગાળાને લંબ દિશાના એક સમાન ચુંબકીયક્ષેત્રના વિસ્તારમાંથી બહારની તરફ ગતિ કરી રહ્યો છે. જો ગાળાનો વેગ 1 cm s^{-1} (a) લાંબી બાજુને, (b) ગાળાની ટૂંકી બાજુને લંબ દિશા તરફનો હોય, તો આ કાપના છેડા વચ્ચે ઉત્પન્ન emf કેટલું હશે? પ્રત્યેક કિસ્સામાં પ્રેરિત વોલ્ટેજ કેટલા સમય માટે રહેશે?

- 6.5** એક 1.0 m લાંબા ધાતુના સણિયાને, સણિયાને લંબ અને તેના કોઈ છેડામાંથી પસાર થતી અક્ષને અનુલક્ષીને 400 rad s^{-1} ની કોણીય આવૃત્તિ સાથે પરિભ્રમણ કરાવવામાં આવે છે. આ સણિયાનો બીજો છેડો એક વર્તુળાકાર ધાતુની રિંગ સાથે સંપર્કમાં છે. અક્ષને સમાંતરે 0.5 T નું અયળ અને એકસમાન ચુંબકીયક્ષેત્ર દરેક સ્થળે અસ્તિત્વ ધરાવે છે. આ કેન્દ્ર અને આ રિંગ વચ્ચે ઉત્પન્ન emf ની ગણતરી કરો.

- 6.6** 8.0 cm ત્રિજ્યાના અને 20 આંટાવાળા ગૂંચયાને તેના ઉધ્વ વ્યાસને અનુલક્ષીને $3.0 \times 10^{-2} \text{ T}$ મૂલ્યના એક સમાન સમક્ષિતિજ ચુંબકીયક્ષેત્રમાં 50 rad s^{-1} ની કોણીય ઝડપથી ધૂમાવવામાં આવે છે. આ ગૂંચયામાં પ્રેરિત મહત્તમ અને સરેરાશ emf મેળવો. જો આ ગૂંચણું 10Ω અવરોધનો એક બંધ ગાળો રહ્યો, તો ગૂંચયામાંના પ્રવાહના મહત્તમ મૂલ્યની ગણતરી કરો. જૂલ હિટ્ટીંગન કારણે સરેરાશ પાવર-વ્યાય (Power Loss)ની ગણતરી કરો. આ પાવર ક્યાંથી આવે છે?

- 6.7** પૂર્વથી પણ્ણિમ સુધી વિસ્તરેલ 10 m લાંબાઈનો એક સમક્ષિતિજ સીધો તાર 5.0 m s^{-1} ની ઝડપથી પૃથ્વીના ચુંબકીયક્ષેત્રના સમક્ષિતિજ ઘટક $0.30 \times 10^{-4} \text{ Wbm}^{-2}$ ને લંબરૂપે નીચે પડી રહ્યો છે.

- (a) આ તારમાં પ્રેરિત emf નું તાત્કષિક મૂલ્ય શું છે?

- (b) આ emfની દિશા શું છે?

- (c) આ તારનો કયો છેડો ઊંચા વિદ્યુત સ્થિતિમાન પર છે?

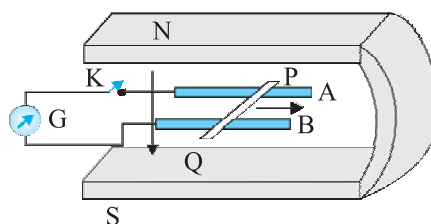
- 6.8** એક પરિપથમાં 0.1 m માં વિદ્યુતપ્રવાહમાં 5.0 A થી 0.0 A ઘટાડો થાય છે. જો 200 V સરેરાશ emf પ્રેરિત થાય, તો આ પરિપથના આત્મ-પ્રેરકત્વનો અંદાજ આપો.

- 6.9** પાસ-પાસે રહેલ ગૂંચયાની જોડનું અન્યોન્ય-પ્રેરકત્વ 1.5 H છે. જો એક ગૂંચયામાં 0.5 A વિદ્યુતપ્રવાહનો ફેરફાર ૦ થી 20 A નો છે. તો અન્ય ગૂંચયા સાથે સંકળાયેલ (સલંગ) ફૂલક્સનો ફેરફાર શું છે?

- 6.10** જેટ વિમાન 1800 km/hr ની ઝડપે પણ્ણિમ તરફ ગતિ કરે છે. જો આ સ્થાને પૃથ્વીના ચુંબકીયક્ષેત્રનું મૂલ્ય $5 \times 10^{-4} \text{ T}$ અને ડીપ અંગલ 30° હોય તથા જો પાંખોના છેડાઓ વચ્ચેનો ગાળો 25 m નો હોય તો તેમની વચ્ચે ઉત્પન્ન થતો વોલ્ટેજનો તફાવત શું હશે?

વધારાના સ્વાધ્યાય

- 6.11** સ્વાધ્યાય 6.4માં લૂપ સ્થિર છે તેમ ધારો, પરંતુ ચુંબકીયક્ષેત્ર ઉત્પન્ન કરનારો જે પ્રવાહ વિદ્યુતચુંબકને આપવામાં આવે છે તે ધીમે ધીમે ઘટાડવામાં આવે છે જેથી ક્ષેત્ર તેના પ્રારંભિક મૂલ્ય 0.3 T થી 0.02 T s^{-1} ના દરે ઘટે છે. જો કાપ (Cut) સાંધી દેવામાં આવે અને લૂપનો અવરોધ 1.6Ω નો હોય, તો લૂપ દ્વારા ઉખા સ્વરૂપે શક્તિ (પાવર)નો કેટલો વ્યય થાય છે? આ શક્તિ (પાવર)નો ઓત શું છે?
- 6.12** ધન z-દિશામાં ચુંબકીયક્ષેત્ર ધરાવતાં વિસ્તારમાં 12 cm ની બાજુઓવાળો એક ચોરસ ગાળો કે જેની બાજુઓ X અને Y અક્ષોને સમાંતર છે તેને ધન x-દિશામાં 8 cm s^{-1} ના વેગ સાથે ખસેડવામાં આવે છે. આ ક્ષેત્ર અવકાશમાં એક્સમાન નથી કે સમય સાથે અચળ પણ નથી. તેમાં ઋણ x-દિશા સાથે $10^{-3} \text{ T cm}^{-1}$ નું પ્રયલન (Gradient) (એટલે કે જેમ ઋણ x-દિશામાં ગતિ કરીએ તેમ તે $10^{-3} \text{ T cm}^{-1}$ થી વધે છે) ધરાવે છે અને તે સમય સાથે 10^{-3} T s^{-1} ના દરે ઘટતું જાય છે. તેના અવરોધ $4.50 \text{ m}\Omega$ હોય તો આ ગાળામાં પ્રેરિત પ્રવાહની દિશા અને મૂલ્ય નક્કી કરો.
- 6.13** એક શક્તિશાળી લાઉડ સ્પીકરના ચુંબકના પ્રુવો વચ્ચેના ક્ષેત્રના મૂલ્યને માપવું છે. ખૂબ જ નજીક વીઠાયેલ 25 આંટાઓ વાળી એક નાની 2 cm^2 ક્ષેત્રફળની સપાટ સર્ચ-કોઈલ (ગુંચળું)ને ક્ષેત્રની દિશામાં લંબ રાખવામાં આવે છે અને તે પછી ક્ષેત્રના વિસ્તારમાંથી ઝડપથી જેચી લેવામાં આવે છે. (અથવા સમતુલ્ય રીતે તેના સમતલને ક્ષેત્રની દિશાને સમાંતર લાવવા માટે કોઈ તેને ઝડપી 90° નું ભ્રમણ આપી શકે છે). આ ગુંચળામાં વહેતો કુલ વિદ્યુતભાર (ગુંચળા સાથે જોડાયેલ બેલિસ્ટિક ગોલ્વેનોમીટર દ્વારા માપવામાં આવે છે) 7.5 mC છે. આ ગુંચળા અને ગોલ્વેનોમિટરનો સંયુક્ત અવરોધ $0.50 \text{ }\Omega$ છે. આ ચુંબકની પ્રબળતાનું અનુમાન કરો.
- 6.14** આકૃતિ 6.20 એ કાયમી ચુંબકના પ્રુવો વચ્ચે લીસા પાટાઓ AB પર સ્થિત એક ધાતુના સળિયા PQને દર્શાવે છે. આ પાટાઓ, સળિયો અને ચુંબકીયક્ષેત્ર એ ગ્રાણેય પરસ્પર લંબ દિશામાં છે. એક ગોલ્વેનોમિટર Gને કણ K દ્વારા પાટાઓ સાથે જોડાયેલ છે. આ સળિયાની લંબાઈ = 15 cm , B = 0.50 T , આ સળિયો ધરાવતા બંધ ગાળાનો અવરોધ = $9.0 \text{ m}\Omega$ છે. આ ક્ષેત્ર સમાન છે તેમ ધારો.
- (a) ધારોકે, આ K ખુલ્લી છે અને સળિયાને 12 cm s^{-1} ની ઝડપે દર્શાવેલ દિશામાં ખસેડવામાં આવે છે. પ્રેરિત emfનું પ્રુવત્વ અને મૂલ્ય આપો.
- (b) જ્યારે K ખુલ્લી હોય ત્યારે સળિયાના છેડાઓ પર કોઈ વધારાનો વિદ્યુતભાર પ્રસ્થાપિત થશે? જો K બંધ હોય તો શું?
- (c) K ખુલ્લી હોય અને સળિયો સમાન રીતે ગતિ કરે ત્યારે સળિયાની આ ગતિને કારણે ઈલેક્ટ્રોન ચુંબકીય બળ અનુભવતા હોવા છતાં આ સળિયા PQમાં ઈલેક્ટ્રોન પર કોઈ ચોખ્યું બળ નથી. સમજાવો.
- (d) જ્યારે K બંધ હોય ત્યારે આ સળિયા પર ગતિરોધક બળ કેટલું હશે?



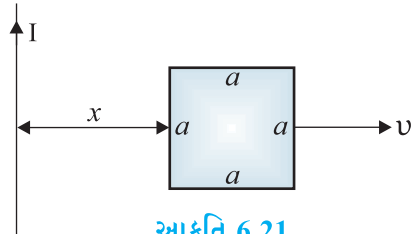
આકૃતિ 6.20



- (e) જ્યારે K બંધ હોય છે ત્યારે આ સળિયાને એ જ ઝડપે ($= 12 \text{ cm s}^{-1}$) ખસેડવા માટે (બાદ્ય એજન્ટ દ્વારા) કેટલો પાવર શક્તિ જરૂરી છે? જ્યારે K ખુલ્લી હોય ત્યારે કેટલી શક્તિ (પાવર) આવશ્યક છે?
- (f) આ બંધ પરિપથમાં ઉભાડુપે કેટલી શક્તિ (પાવર)નો વ્યવ થાય છે? આ શક્તિ (પાવર)નો સોત શું છે?
- (g) ચુંબકીયક્ષેત્ર લંબરૂપ હોવાને બદલે પાટાઓને સમાંતર હોય તો ગતિમાન સળિયામાં પ્રેરિત emf કેટલું થશે?

6.15 30 cm લંબાઈ, 25 cm^2 આઇછેદનું ક્ષેત્રફળ, 500 આંટાઓવાળું અને જેના ગર્ભ ભાગમાં હવા હોય તેલું (એર-કોર્ડ) સોલેનોઇડ, 2.5 A પ્રવાહનું વહન કરે છે. આ પ્રવાહને અચાનક 10^{-3} ડના ટૂંકા સમયમાં બંધ કરવામાં આવે છે. આ પરિપથમાં ખુલ્લી કળ (સ્વીચ)ના છેડા વચ્ચે પ્રેરિત સરેરાશ બેક emf કેટલું થશે? આ સોલેનોઇડના છેડાની નજીક ચુંબકીયક્ષેત્રના ફેરફારને અવગાણો.

6.16 (a) આકૃતિ 6.21માં બતાવ્યા પ્રમાણે એક લાંબા સુરેખ તાર અને a બાજુવાળા એક ચોરસ ગાળા વચ્ચેના અન્યોન્ય-પ્રેરકત્વ માટેનું સૂત્ર મેળવો.
(b) હવે ધારોકે સુરેખ તાર 50 A પ્રવાહનું વહન કરે છે અને ગાળાને $v = 10 \text{ m/s}$ અચાનક વેગ સાથે જમણી તરફ ખસેડવામાં આવે છે. જ્યારે $x = 0.2 \text{ m}$ હોય તે ક્ષણો ગાળામાં પ્રેરિત emfની ગણતરી કરો. $a = 0.1 \text{ m}$ લો અને ધારોકે ગાળો મોટો અવરોધ ધરાવે છે.



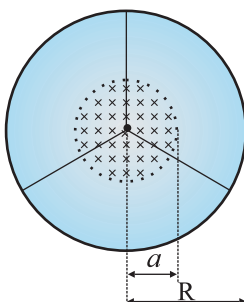
આકૃતિ 6.21

6.17 એકમ લંબાઈ દીઠ લ જેટલો રેખીય વિદ્યુતભાર, M દવ્યમાન અને R ત્રિજ્યાના વ્હીલની ધાર (રીમ) પર એકસરખી રીતે મૂકવામાં આવેલ છે. આ વ્હીલમાં હલકા અવાહક આરાઓ (Spokes) છે અને તે તેની અક્ષને અનુલક્ષીને ઘર્ષણ વિના બ્રમણ કરવા મુક્ત છે. એક સમાન ચુંબકીયક્ષેત્ર એ ધારની અંદર વર્તુળાકાર વિભાગમાં વિસ્તરેલ છે. જેને

$$B = -B_0 k \quad (r \leq a; a < R) \\ = 0 \quad (\text{અન્યથા})$$

દ્વારા આપવામાં આવે છે.

આ ક્ષેત્ર અચાનક બંધ કર્યો પછી વ્હીલનો કોણીય વેગ શું હશે?



આકૃતિ 6.22

પ્રકરણ સાત

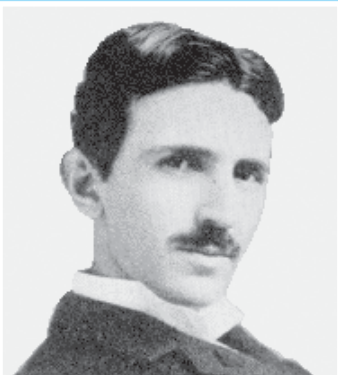
પ્રત્યાવર્તી પ્રવાહ (ALTERNATING CURRENT)



7.1 પ્રસ્તાવના (INTRODUCTION)

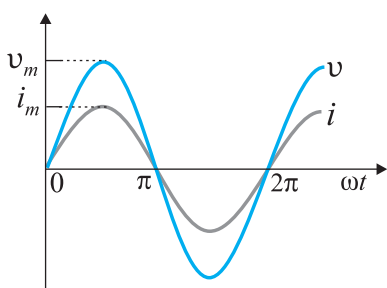
આપણે અત્યાર સુધીમાં એકદિશ પ્રવાહ (dc)ના સોત અને એકદિશ (dc) સોત સાથેનાં પરિપથોનો વિચાર કર્યો છે. આવા પ્રવાહો સમય સાથે દિશા બદલતા નથી. પરંતુ સમય સાથે બદલાય તેવા વોલ્ટેજ અને પ્રવાહો ખૂબ સામાન્ય છે. આપણા ઘર અને ઓફિસમાં વિદ્યુત મેઈન્સ સપ્લાય એક એવો વોલ્ટેજ છે જે સમય સાથે sine વિધેય મુજબ બદલાય છે. આવા વોલ્ટેજને પ્રત્યાવર્તી વોલ્ટેજ (ac voltage) કહે છે અને તેના વડે પરિપથમાં વહેતા વિદ્યુતપ્રવાહને, પ્રત્યાવર્તી (ઉલટસુલટ) વિદ્યુતપ્રવાહ (ac current)* કહે છે. આજે આપણે ઉપયોગમાં લેતા મોટાભાગનાં વિદ્યુત ઉપકરણોને એસી વોલ્ટેજની જરૂર પડે છે. આનું મુજ્ય કારણ એ છે કે પાવર કંપનીઓ દ્વારા વેચાતી વિદ્યુતગીર્જાનું પ્રસારણ અને વહેચણી, પ્રત્યાવર્તી પ્રવાહ સ્વરૂપે થાય છે. ડીસી વોલ્ટેજને બદલે એસી વોલ્ટેજનો ઉપયોગ પસંદ કરવાનું મુજ્ય કારણ એ છે કે બે ટ્રાન્સફોર્મરની મદદથી ac વોલ્ટેજને એક વોલ્ટેજમાંથી બીજા વોલ્ટેજમાં સરળતાથી અને અસરકારક રીતે રૂપાંતર કરી શકાય છે. ઉપરાંત વિદ્યુતગીર્જાનું કરકસર યુક્ત લાંબા અંતર સુધી પ્રસારણ કરી શકાય છે. એસી પરિપથો એવી ઘણી લાક્ષણિકતાઓ ધરાવે છે જેનો ઉપયોગ રોજંદા જીવનમાં વપરાતા ઘણાં ઉપકરણોમાં થાય છે. ઉદાહરણ તરીકે જ્યારે આપણે આપણા મનપસંદ રેઝિયો સ્ટેશન માટે રેઝિયો ટ્યુન કરીએ છીએ ત્યારે એસી પરિપથનાં વિશિષ્ટ ગુણધર્મનો લાભ લઈએ છીએ. તે પૈકીનાં એકનો અભ્યાસ તમે આ પ્રકરણમાં કરશો.

* એસી વોલ્ટેજ અને એસી પ્રવાહ શબ્દસમૂહ અનુકૂમે વિરોધાભાસી અને અનાવશ્યક છે. કારણ કે તેમના શબ્દશ: અર્થ પ્રત્યાવર્તી પ્રવાહ વોલ્ટેજ અને પ્રત્યાવર્તી પ્રવાહ પ્રવાહ છે. હજુ પણ ટૂંકાક્ષર ac, સરળ આવર્ત (પ્રસંગાદી) પ્રકારે સમય પરાંતુ અવલંબન (Dependence) દર્શાવતી વિદ્યુતરાશાઓને રજૂ કરવા માટે એટલાં તો સાર્વત્રિક રીતે સ્વીકારાયાં છે કે આપણે તેના ઉપયોગમાં અન્ય સહૃદૈ અનુસરીંનું ઉપરાંત, સામાન્યતા: ઉપયોગ લેવાતા બીજા શબ્દ વોલ્ટેજનો અર્થ બે બિંદુઓ વચ્ચેનો વિદ્યુતસ્થિતિમાનનો તફાવત થાય છે.



નિકોલા ટેસ્લા (Nikola Tesla) (1856-1943)

નિકોલા ટેસ્લા (Nikola Tesla) (1856-1943) : સર્બીયન-અમેરિકન શોધક (Inventor) અને પ્રતિબાશાળી વૈજ્ઞાનિક હતા. તેમણે ભ્રમણ કરતા ચુંબકીયક્ષેત્રની કલ્પના કરી, જે વ્યાવહારિક રીતે બધી જ પ્રત્યાવર્તીપ્રવાહ મશીનરીનો આધાર બની છે અને તે વિદ્યુતપાવરના યુગમાં પ્રવેશ માટે મદદરૂપ થઈ. તેમણે શોધેલી અન્ય વસ્તુઓમાં ઈન્ડક્શન મોટર, ac પાવરની પોલીફેઝ સિસ્ટમ (બહુકળાતંત્ર) રેઝિયો અને ટેલિવિઝન સેટ તથા અન્ય ઇલેક્ટ્રોનિક ઉપકરણોમાં વપરાતી ઉચ્ચ આવૃત્તિયાળી ઈન્ડક્શન કોઈલ (ટેસ્લા કોઈલ) નો સમાવેશ થાય છે. ચુંબકીયક્ષેત્રના SI એકમનું નામ તેમનાં માનમાં રાખવામાં આવ્યું છે.



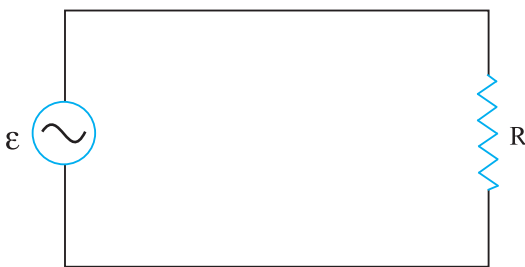
આકૃતિ 7.2 શુદ્ધ અવરોધકમાં વોલ્ટેજ અને પ્રવાહ સમાનકળામાં હોય છે. ન્યૂનતમ, શૂન્ય અને મહત્તમ એક જ અનુરૂપ સમયે રચાય છે.

7.2 અવરોધકને લાગુ પાડેલ અને વોલ્ટેજ (AC VOLTAGE APPLIED TO A RESISTOR)

આકૃતિ 7.1માં અવરોધકને ac વોલ્ટેજ સોત દ સાથે જોડેલો દર્શાવેલ છે. પરિપથમાં ac સોતની સંજા છે. આપણે એવો ac સોત ધ્યાનમાં લઈએ છીએ કે જે તેનાં બે છેડા વચ્ચે સાઈન વિધેય મુજબ બદલાતો જતો વિદ્યુતસ્થિતિમાનનો તફાવત (ઉત્પન્ન) કરે. આવા વિદ્યુતસ્થિતિમાન તફાવતને એસો વોલ્ટેજ પણ કહે છે. જે નીચે મુજબ આપી શકાય છે.

$$v = v_m \sin \omega t \quad (7.1)$$

જ્યાં v_m દોલન પામતા વિદ્યુતસ્થિતિમાન તફાવતનો કંપવિસ્તાર છે અને ω તેની કોણીય આવૃત્તિ છે.



આકૃતિ 7.1 અવરોધકને લાગુ પાડેલ ac વોલ્ટેજ

અવરોધકમાંથી પસાર થતો વિદ્યુતપ્રવાહ શોધવા માટે આકૃતિ 7.1માં દર્શાવેલ પરિપથને કિર્ચોફનો બંધગાળા (Loop)નો નિયમ $\sum E(t) = 0$ (પરિચ્છેદ 3.13 જુઓ) લાગુ પાડતાં નીચેનું સમીકરણ મળે.

$$v_m \sin \omega t = i R$$

$$\text{અથવા } i = \frac{v_m}{R} \sin \omega t$$

અહીં, R અચળ હોવાથી આપણે આ સમીકરણને નીચે મુજબ લખી શકીએ.

$$i = i_m \sin \omega t \quad (7.2)$$

જ્યાં, પ્રવાહનો કંપવિસ્તાર i_m નીચે મુજબ છે.

$$i_m = \frac{v_m}{R} \quad (7.3)$$

સમીકરણ (7.3) માત્ર ઓછુંમનો નિયમ છે જે અવરોધક માટે, ac વોલ્ટેજ અને dc વોલ્ટેજ બંને માટે સમાન રીતે લાગુ પડે છે. સમીકરણ (7.1) અને (7.2) મુજબ શુદ્ધ અવરોધકનાં બે છેડા વચ્ચેનો વોલ્ટેજ અને તેમાંથી પસાર થતા વીજપ્રવાહને સમયનાં વિધેય તરીકે આકૃતિ (7.2) માં દર્શાવેલ છે. એ વાત ખાસ નોંધો કે, v અને i બંને એક જ સમયે શૂન્ય, લઘુતમ અને મહત્તમ મૂલ્યો ધારણ કરે છે. સ્પષ્ટ છે કે, વોલ્ટેજ અને પ્રવાહ બંને એકબીજા સાથે સમાન કળામાં છે.

આપણે જોઈ શકીએ છીએ કે, લાગુ પાડેલ વોલ્ટેજની માફક જ પ્રવાહ સાઈન વક્ત મુજબ બદલાય છે અને પ્રત્યેક ચક દરમ્યાન તેને અનુરૂપ ધન અને ઋણ મૂલ્યો ધારણ કરે છે. આમ, એક પૂર્ણચક દરમિયાન તત્કાલિન પ્રવાહનાં મૂલ્યોનો સરવાળો શૂન્ય છે અને સરેરાશ પ્રવાહ શૂન્ય છે. સરેરાશ પ્રવાહ શૂન્ય છે તે હકીકતનો અર્થ એ નથી કે વપરાતો (વ્યય થતો) સરેરાશ પાવર પણ શૂન્ય છે અને વિદ્યુતઊર્જાનો વ્યય થતો નથી. તમે જાણો છો તે મુજબ,

પ્રત્યાવર્તી પ્રવાહ

જુલ ઉખા $i^2 R$ સૂત્ર વડે અપાય છે અને તે i^2 (જે હમેશાં ધન હોય છે પછી ભલે i ધન હોય કે ઋણ) પર આધારિત છે અને i પર આધારિત નથી. આમ, અવરોધકમાંથી એસી પ્રવાહ પસાર થાય છે ત્યારે જુલ ઉખા ઉદ્ભબે અને વિદ્યુતગિર્જનો વ્યય થાય છે.

અવરોધકમાં વ્યય થતો તત્કાલિન પાવર

$$p = i^2 R = i_m^2 R \sin^2 \omega t \quad (7.4)$$

એક પૂર્ણ ચક દરમ્યાન સરેરાશ પાવર p * નું મૂલ્ય,

$$\bar{p} = \langle i^2 R \rangle = \langle i_m^2 R \sin^2 \omega t \rangle \quad [7.5(a)]$$

જ્યાં, અક્ષર પર (અહીં p પર) બારની નિશાની તેનું સરેરાશ મૂલ્ય સૂચવે છે અને $\langle \dots \dots \rangle$ કૌંસની અંદર રહેલી રાશનું સરેરાશ મૂલ્ય લેવાનું સૂચવે છે. i_m^2 અને R અચળ રાશિઓ હોવાથી,

$$\bar{p} = i_m^2 R \langle \sin^2 \omega t \rangle \quad [7.5(b)]$$

ત્રિકોણભિત્તિય સંમિતિ મુજબ,

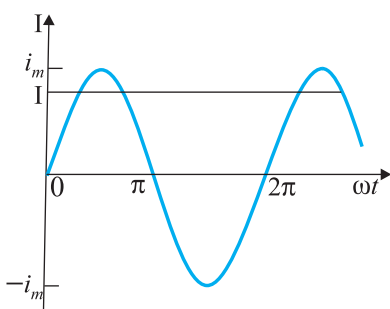
$\sin^2 \omega t = (1/2)(1 - \cos 2\omega t)$ નો ઉપયોગ કરતાં આપણાને

$\langle \sin^2 \omega t \rangle = (1/2)(1 - \langle \cos 2\omega t \rangle)$ મળે અને $\langle \cos 2\omega t \rangle^{**} = 0$ હોવાથી

$$\langle \sin^2 \omega t \rangle = (1/2)$$

$$\text{આમ, } \bar{p} = \frac{1}{2} i_m^2 R \quad (7.5)$$

dc પાવર ($P = I^2 R$) ના સ્વરૂપ જેવા જ સ્વરૂપમાં ac પાવરને રજૂ કરવા માટે પ્રવાહનું એક વિશિષ્ટ મૂલ્ય વ્યાખ્યાયિત કરીને તેનો ઉપયોગ કરવામાં આવે છે. તેને સરેરાશ વર્ગિતનું વર્ગમૂળ (rms) અથવા અસરકારક પ્રવાહ કહે છે (આકૃતિ 7.3) તથા તેને I_{rms} અથવા I વડે દર્શાવાય છે.

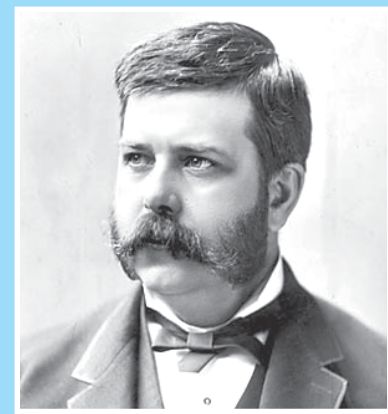


આકૃતિ 7.3 rms પ્રવાહ I મહત્તમ પ્રવાહ i_m સાથે $I = \frac{i_m}{\sqrt{2}} = 0.707 i_m$ સંબંધ ધરાવે છે.

* એક આવર્તકણ (T) પર કોઈ વિષેય $F(t)$ નું સરેરાશ મૂલ્ય

$$\langle F(t) \rangle = \frac{1}{T} \int_0^T F(t) dt \text{ સૂત્ર પરથી મળે.}$$

$$** \langle \cos 2\omega t \rangle = \frac{1}{T} \int_0^T \cos 2\omega t dt = \frac{1}{T} \left[\frac{\sin 2\omega t}{2\omega} \right]_0^T = \frac{1}{2\omega T} [\sin 2\omega T - 0] = 0$$



જ્યોર્જ વેસ્ટિંગહાઉસ (George Westinghouse) (1846-1914)

dc પ્રવાહને બદલે ac (પ્રત્યાવર્તી) પ્રવાહનાં ઉપયોગ કરવા માટેનાં ટોચનાં પક્ષકાર. આમ તે dc પ્રવાહનાં સમર્થક થોમસ અલ્વા એડિસન સાથે સંઘર્ષમાં આવ્યા. વેસ્ટિંગહાઉસને અમે સમજાયું હતું કે, પ્રત્યાવર્તી પ્રવાહની ટેકનોલોજી એ વિદ્યુતના ભવિષ્યની ચાવી છે. તેઓએ પોતાનાં નામે પ્રસિદ્ધ કંપનીની સ્થાપના કરી અને મોટા પાયે અગ્રણી બનવા માટે નિકોલા ટેસ્લા તેમજ અન્ય સંશોધનકારોને પ્રત્યાવર્તી પ્રવાહ મોટરો અને ઊંચા વોલ્ટેજ ધરાવતા પ્રવાહનાં ટ્રાન્સમિશન માટેનાં સાધનોનાં વિકાસ માટે તેમાં નિયુક્ત કર્યા.

જ્યોર્જ વેસ્ટિંગહાઉસ (George Westinghouse) (1846-1914)



તેને નીચે મુજબ વ્યાખ્યાયિત કરાય છે.

$$I = \sqrt{i^2} = \sqrt{\frac{1}{2} i_m^2} = \frac{i_m}{\sqrt{2}} = 0.707 i_m \quad (7.6)$$

P વડે દર્શાવતો સરેરાશ પાવર I નાં પદમાં

$$P = \bar{P} = \frac{1}{2} i_m^2 R = I^2 R \quad (7.7)$$

પરથી મળે. આ જ રીતે, આપણે rms વોલ્ટેજ અથવા અસરકારક વોલ્ટેજ

$$V = \frac{v_m}{\sqrt{2}} = 0.707 v_m \quad (7.8)$$

તરીકે વ્યાખ્યાયિત કરીએ છીએ. સમીકરણ (7.3) પરથી આપણને

$$v_m = i_m R \\ \text{અથવા} \quad \frac{v_m}{\sqrt{2}} = \frac{i_m}{\sqrt{2}} R$$

$$\text{અથવા} \quad V = IR \quad (7.9)$$

મળે. સમીકરણ (7.9) ac વોલ્ટેજ અને ac પ્રવાહ વચ્ચેનો સંબંધ દર્શાવે છે અને તે dc વોલ્ટેજ-પ્રવાહ વચ્ચેનાં સંબંધ જેવો જ છે. rms મૂલ્યોનો ઘ્યાલ (concept) દાખલ કરવાનો આ ફાયદો દર્શાવે છે. rms મૂલ્યોના પદમાં ac પરિપથમાં વોલ્ટેજ અને પ્રવાહ વચ્ચેનાં સંબંધો અને પાવરનું સમીકરણ [સમીકરણ (7.7)] dc પરિપથોના કિર્સામાં મળતાં સંબંધો જેવાં જ છે.

પરંપરાગત રીતે ac રાશિઓનાં rms મૂલ્યો માપવામાં અને રજૂ કરવામાં આવે છે. ઉદાહરણ તરીકે, ધરવપરાશ માટેનો 220 V એ મહત્તમ વોલ્ટેજ,

$$v_m = \sqrt{2} V = (1.414)(220 V) = 311 V$$

નું rms મૂલ્ય છે.

હકીકતમાં પ્રત્યાવર્તી પ્રવાહમાં થતાં સરેરાશ પાવર બ્યય જેટલો જ પાવર બ્યય જે સમતુલ્ય dc પ્રવાહ દ્વારા થાય તેને I અથવા rms પ્રવાહ કહે છે. આમ, સમીકરણ (7.7) નીચે મુજબ પણ લખી શકાય.

$$P = V^2 / R = IV \quad (\text{જ્યાં } V = IR)$$

ઉદાહરણ 7.1 220 V સપ્લાય માટે એક વિદ્યુત બલ્બ 100 Wનું રેટિંગ ધરાવે છે. (a) બલ્બનો અવરોધ (b) સોત વોલ્ટેજનું મહત્તમ મૂલ્ય અને (c) બલ્બમાંથી વહેતા પ્રવાહનું rms મૂલ્ય શોધો.

ઉકેલ

(a) આપણને પાવર $P = 100 W$, $V = 220 V$ આપેલ છે.

$$\text{બલ્બનો અવરોધ } R = \frac{V^2}{P} = \frac{(220 V)^2}{100 W} = 484 \Omega$$

(b) સોત વોલ્ટેજનું મહત્તમ મૂલ્ય

$$v_m = \sqrt{2} V = 311 V$$

(c) $P = IV$ પરથી,

$$I = \frac{P}{V} = \frac{100 W}{220 V} = 0.454 A$$

7.3 ધૂમતા સદિશો (ફેઝ્સ) વડે AC પ્રવાહ અને વોલ્ટેજની રજૂઆત (REPRESENTATION OF AC CURRENT AND VOLTAGE BY ROTATING VECTORS—PHASORS)

અગાઉનાં પરિચ્છેદમાં આપણે શીખ્યા કે અવરોધકમાંથી પસાર થતો પ્રવાહ ac વોલ્ટેજ સાથે કળામાં હોય છે પરંતુ ઈન્ડક્ટર, કેપેસીટર અથવા આવા પરિપથ ઘટકોનું સંયોજન હોય તેવા કિસ્સાઓમાં આવું હોતું નથી. ac પરિપથમાં પ્રવાહ અને વોલ્ટેજ વચ્ચેનાં કળા સંબંધો દર્શાવવા માટે આપણે ફેઝરની કલ્યાણ/ખ્યાલનો ઉપયોગ કરીએ છીએ. ફેઝર ડાયાગ્રામનાં ઉપયોગથી ac પરિપથનું વિશ્વેષણ સરળ બને છે.

ફેઝર* એક સદિશ છે કે જે આકૃતિ 7.4માં દર્શાવ્યા મુજબ ઉગમબિંદુની આસપાસ ω કોણીય જડપથી ભ્રમણ કરે છે. V અને I ફેઝરના ઉધ્વ ઘટકો sine વક્ત અનુસાર બદલતી રાશીઓ V અને i ને રજૂ કરે છે. V અને I ફેઝરનાં માન આ અંદોલિત રાશીઓના કંપવિસ્તાર અથવા મહત્તમ મૂલ્યો v_m અને i_m દર્શાવે છે. આકૃતિ 7.4(a), ac સોત સાથે જોડેલ અવરોધક માટેનાં આકૃતિ 7.1માં દર્શાવેલ પરિપથને અનુરૂપ t_1 સમયે વોલ્ટેજ અને પ્રવાહનાં ફેઝર અને તેમની વચ્ચેનાં સંબંધ દર્શાવે છે. વોલ્ટેજ અને પ્રવાહનાં ઉધ્વ અક્ષ પરનાં પ્રક્ષેપો એટલે કે $v_m \sin \omega t$ તથા $i_m \sin \omega t$ તે ક્ષાળે અનુક્રમે વોલ્ટેજ અને પ્રવાહનાં મૂલ્યો દર્શાવે છે. જેમ તેઓ આવૃત્તિ ω સાથે ભ્રમણ કરે છે તેમ આકૃતિ 7.4(b) મુજબનાં વક્તો રચાતા જાય છે. અવરોધકનાં કિસ્સામાં V અને I નાં બંને ફેઝર એક જ દિશામાં છે, તેમ આકૃતિ 7.4(a) પરથી જોઈ શકાય છે. આનો અર્થ એ છે કે વોલ્ટેજ અને પ્રવાહ વચ્ચેનો કળા તફાવત શુન્ય છે.

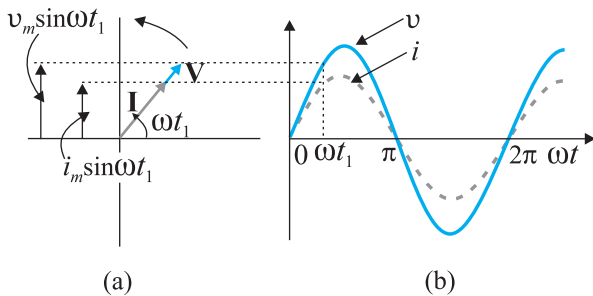
7.4 ઈન્ડક્ટર (પ્રેરક ગુંચણા)ને લાગુ પાડેલ AC વોલ્ટેજ

(AC VOLTAGE APPLIED TO AN INDUCTOR)

આકૃતિ 7.5માં ઈન્ડક્ટર સાથે ac સોત જોડેલ છે. સામાન્ય રીતે ઈન્ડક્ટરમાં વીટાળેલ વાહક ગુંચણા (વાઈન્ડિંગ)ને ગાળનાપાત્ર અવરોધ હોય છે, પરંતુ આપણે ધારી લઈશું કે ઈન્ડક્ટરને અવગણી શકાય તેટલો અવરોધ છે. આમ, પરિપથ શુદ્ધ ઈન્ડક્ટિવ ac પરિપથ છે. ધારો કે સોતનાં બે છેડા વચ્ચેનો વોલ્ટેજ $v = v_m \sin \omega t$ છે. કિર્ચોફનાં બંધગાળાનાં નિયમ $\sum \epsilon(t) = 0$ નો ઉપયોગ કરતાં અને આ પરિપથમાં અવરોધ ન હોવાથી,

$$v - L \frac{di}{dt} = 0 \quad (7.10)$$

જ્યાં, બીજું પદ ઈન્ડક્ટરમાં આત્મપ્રેરિત ફેરેટે emf છે અને L ઈન્ડક્ટરનું આત્મપ્રેરકત્વ છે. ઝાણ નિશાની લેન્જના નિયમ (પ્રકરણ-6) પરથી આવે છે.



આકૃતિ 7.4 (a) આકૃતિ 7.1માં દર્શાવેલ પરિપથ માટે ફેઝર ડાયાગ્રામ (b) v અને i વિનિયોગ (7.1)નો આવેલ



આકૃતિ 7.5 ઈન્ડક્ટર (પ્રેરક ગુંચણા) સાથે જોડેલ એસી સોત

* ac પરિપથોમાં વોલ્ટેજ અને પ્રવાહને ધૂમતા સદિશો - ફેઝર દ્વારા નિરૂપણ કરવામાં આવે છે તેમ છતાં પોતે સદિશ નથી. તેઓ અદિશ રાશિઓ છે. અહીં, આવર્ત રીતે બદલતી જતા અદિશોની કળાઓ અને કંપવિસ્તારો, ધૂમતા સદિશોના અનુરૂપ મૂલ્યો અને દિશા ધરાવતા પ્રક્ષેપોની જેમ જ ગાળિતીક રીતે સંયોજાય છે. આવર્ત રીતે બદલતી જતી અદિશ રાશિઓનો સરવાણો, આપણે જાણીએ છીએ તેવા સરળ નિયમોથી કરી શકાય તે માટે જ તેમને રજૂ કરવા, ધૂમતાં સદિશોને દાખલ કરેલા છે.

ભૌતિકવિજ્ઞાન

Interactive animation on Phasor diagrams of ac circuits containing R, L, C and RLC series circuits :
<http://www.animations.physics.unsw.edu.au/jw/AC.html>

સમીકરણ (7.1) અને (7.10)નો સમન્વય કરતાં,

$$\frac{di}{dt} = \frac{v}{L} = \frac{v_m}{L} \sin \omega t \quad (7.11)$$

સમીકરણ (7.11) સૂચવે છે કે પ્રવાહ $i(t)$ સમય પરનું એવું વિષેય છે કે જેનો ઢાળ di/dt , sine વિષેય મુજબ (sinusoidally) બદલાતી જતી રાશિ હોય, જેની કળા સોત વોલ્ટેજના જેટલી છે અને તેનો કંપવિસ્તાર v_m / L વડે આપી શકાય છે. પ્રવાહ મેળવવા માટે આપણે di/dt નું સમય સાપેક્ષે સંકલન કરીશું.

$$\int \frac{di}{dt} dt = \frac{v_m}{L} \int \sin(\omega t) dt$$

$$\text{આ પરથી, } i = -\frac{v_m}{\omega L} \cos(\omega t) + \text{અયળ}$$

સંકલનના અયળાંકને પ્રવાહનું પરિમાણ છે અને તે સમયથી સ્વતંત્ર છે. સોતનું emf શૂન્યની આસપાસ સંમિતિય રીતે દોલન કરે છે, તેથી તેનાથી મળતો પ્રવાહ શૂન્યની આસપાસ સંમિતિય રીતે દોલન કરે છે અને તેથી અયળ પ્રવાહ કે પ્રવાહનો સમયથી સ્વતંત્ર (સમય પર આધારિત ન હોય તેવો) કોઈ ઘટક અસ્તિત્વ ધરાવતો નથી. માટે, સંકલનનો અયળાંક શૂન્ય છે.

$$-\cos(\omega t) = \sin\left(\omega t - \frac{\pi}{2}\right) \text{ નો ઉપયોગ કરતાં આપણને,$$

$$i = i_m \sin\left(\omega t - \frac{\pi}{2}\right) \quad (7.12)$$

મળે. જ્યાં, $i_m = \frac{v_m}{\omega L}$ પ્રવાહનો કંપવિસ્તાર છે. રાશિ ωL એ અવરોધ સાથે સામ્ય ધરાવતી રાશિ છે જેને ઈન્ડક્ટીવ રીએક્ટન્સ કહે છે અને તે X_L વડે દર્શાવાય છે.

$$X_L = \omega L \quad (7.13)$$

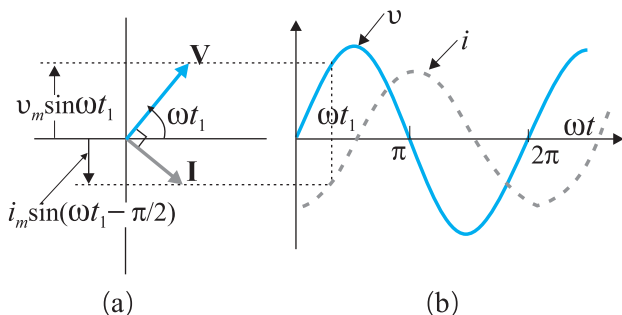
આથી, પ્રવાહનો કંપવિસ્તાર

$$i_m = \frac{v_m}{X_L} \quad (7.14)$$

ઇન્ડક્ટીવ રીએક્ટન્સનું પરિમાણ અવરોધનાં પરિમાણ જેવું જ અને તેનો SI એકમ ઓહ્મ (Ω) છે.

શુદ્ધ અવરોધક પરિપથમાં જેમ અવરોધ પ્રવાહ ને સીમિત (ર્યાન્ડિટ) કરે છે તેવી જ રીતે શુદ્ધ ઇન્ડક્ટીવ પરિપથમાં ઈન્ડક્ટર પ્રવાહને સીમિત કરે છે. ઇન્ડક્ટીવ રીએક્ટન્સ, ઈન્ડક્ટર અને પ્રવાહની આવૃત્તિના સમપ્રમાણમાં હોય છે.

સોત વોલ્ટેજ અને ઈન્ડક્ટરમાં વહેતા પ્રવાહ માટે સમીકરણ (7.1) અને સમીકરણ (7.12)ની સરખામણી દર્શાવે છે કે પ્રવાહ વોલ્ટેજ કરતાં કળામાં $\pi/2$ જેટલો અથવા એક ચર્ટુથાંશ ચક (1/4 cycle) જેટલો પાછળ છે. પ્રસ્તુત ડિસ્સામાં કોઈ એક કાણ (t_1) માટે વોલ્ટેજ અને પ્રવાહનાં ફેઝ આફ્ટિ 7.6(a)માં દર્શાવેલ છે. પ્રવાહ ફેઝ I વોલ્ટેજ ફેઝ V કરતાં $\pi/2$ જેટલો પાછળ છે. જ્યારે તેમને કોણીય આવૃત્તિ ω સાથે વિષમઘડી દિશામાં બ્રમજા કરાવવામાં આવે ત્યારે સમીકરણ (7.1) અને (7.12) દ્વારા રજૂ થતા અનુક્રમે વોલ્ટેજ અને પ્રવાહ રચાય છે, જેને આફ્ટિ 7.6(b)માં દર્શાવેલ છે.



આકૃતિ 7.6 (a) આકૃતિ 7.5માં દર્શાવેલ પરિપથ માટે ફેઝ ડાયાગ્રામ

(b) V અને i વિરુદ્ધ યાનો આવેખ

આપણે જોઈ શકીએ છીએ કે, પ્રવાહ વોલ્ટેજ કરતાં એક ચતુર્થાંશ આવર્તકાળ $\left[\frac{T}{4} = \frac{\pi/2}{\omega} \right]$ પછી તેનું મહત્તમ મૂલ્ય મેળવે છે. તમે જોયું કે ઈન્ડક્ટરને રીએક્ટન્સ છે, જેમ દ્વારા પરિપથમાં અવરોધ વડે પ્રવાહ મર્યાદિત થાય તેવી જ રીતે રીએક્ટન્સ ac પ્રવાહને મર્યાદિત કરે છે. શું તે અવરોધની માફક પાવર વ્યક્ત કરતો હશે? આપણે તે શોધવાનો પ્રયત્ન કરીએ.

ઇન્ડિક્ટરને મળતો તત્કાલિન પાવર

$$\begin{aligned}
 p_L &= i\omega = i_m \sin(\omega t - \frac{\pi}{2}) \times v_m \sin(\omega t) \\
 &= -i_m v_m \cos(\omega t) \sin(\omega t) \\
 &= -\frac{i_m v_m}{2} \sin(2\omega t)
 \end{aligned}$$

આથી, એક પૂર્ણ ચક દરમિયાનનો સરેરાશ પાવર

$$P_L = \left\langle -\frac{i_m v_m}{2} \sin(2\omega t) \right\rangle \\ = \frac{-i_m v_m}{2} \langle \sin(2\omega t) \rangle = 0$$

છે. કારણ કે, એક પૂર્વી ચક પર $\sin(2\omega t)$ નું સરેરાશ શૂન્ય છે. આમ, એક પૂર્વી ચક પર ઈન્ડક્ટરને પૂરો પડાતો સરેરાશ પાવર શૂન્ય હોય છે.

આ બાબતને આકૃતિ 7.7 વિસ્તારથી સમજાવે છે.

ઉદાહરણ 7.2 25.0 mHNાં એક શુદ્ધ ઈન્ડક્ટરને 220 Vના સોત સાથે જોડેલ છે. જો સોતની આવત્તિ 50 Hz હોય તો ઈન્ડક્ટીવ રૂઅએક્ટન્સ અને પરિપથનો rms પ્રવાહ શોધો.

ઉકેલ ઈન્ડક્ટીવ રીએક્ટન્સ.

$$X_L = 2\pi v L = 2 \times 3.14 \times 50 \times 25 \times 10^{-3} \Omega$$

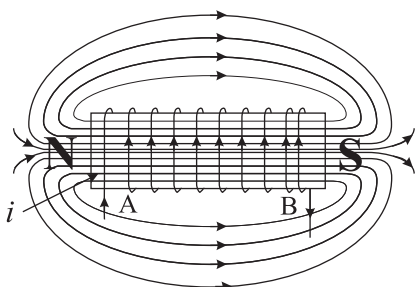
$$= 7.85 \Omega$$

પરિપથમાં rms પ્રવાહ

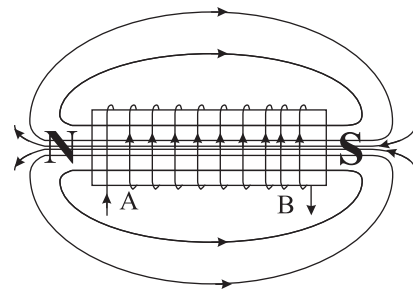
$$I = \frac{V}{X_I} = \frac{220 \text{ V}}{7.85 \Omega} = 28 \text{ A}$$



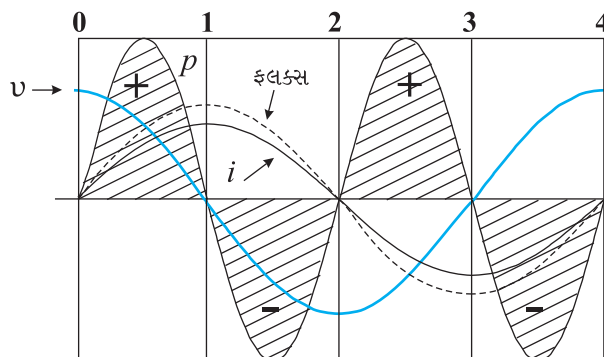
ભૌતિકવિજ્ઞાન



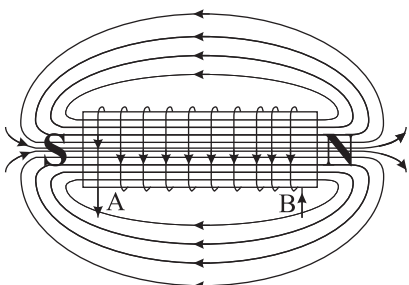
0-1 દરમિયાન A પાસેથી ગુંચળામાં દાખલ થતો પ્રવાહ i શૂન્યથી મહત્તમ મૂલ્ય સુધી વધે છે. ફલક્સ રેખાઓ પ્રસ્થાપિત થાય છે એટલે કે કોર (Core) ચુંબકત્વ ધારણ કરે છે. દર્શાવેલ ધ્રુવત્વ (Polarity) મુજબ વોલ્ટેજ અને પ્રવાહ બંને ધન (Positive) છે. તેથી તેમનો ગુણાકાર p ધન છે. સ્લોતમાંથી ઊર્જાનું શોષણ થાય છે.



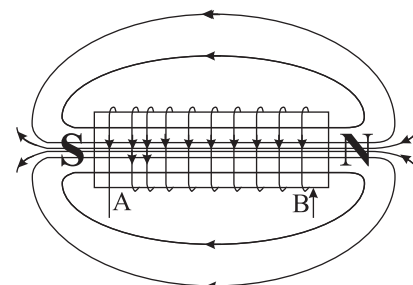
1-2 દરમિયાન ગુંચળામાં વહેતો પ્રવાહ હજુ ધન છે, પરંતુ તે ઘટતો જાય છે. કોર ચુંબકત્વ ગુમાવે છે (Demagnetize થાય છે) અને અર્ધ ચક્ક પૂર્ણ થાય ત્યારે કુલ ફલક્સ શૂન્ય થાય છે. વોલ્ટેજ V ઝડપ છે (કારણ કે, di/dt ઝડપ છે.) વોલ્ટેજ અને પ્રવાહનો ગુણાકાર p ઝડપ થાય છે અને સોતને ઊર્જા પાછી મળવા લાગે છે.



વોલ્ટેજ/પ્રવાહનું એક પૂર્ણ ચક. નોંધો કે પ્રવાહ વોલ્ટેજ કરતાં પાછળ પડેલ છે.



2-3 દરમિયાન પ્રવાહ i ઝડપ બને છે એટલે કે તે B પાસેથી દાખલ થાય છે અને A પાસેથી બહાર આવે છે. પ્રવાહની દિશા ઉલટાઈ જવાને કારણે ચુંબકની ધ્રુવત્વ (પોલારિટી) બદલાય છે. પ્રવાહ અને વોલ્ટેજ બંને ઝડપ છે માટે તેમનો p ગુણાકાર ધન બને છે. ઊર્જાનું શોષણ થાય છે.



3-4 દરમિયાન પ્રવાહ i ઘટવા લાગે છે અને 4 પાસે તેનું મૂલ્ય શૂન્ય થાય છે. કોર ચુંબકત્વ ગુમાવે છે અને ફલક્સ શૂન્ય બને છે. વોલ્ટેજ ધન હોય છે પરંતુ પ્રવાહ ઝડપ છે તેથી પાવર p ઝડપ થાય છે. અર્ધચક 2-3 મુજબ $1/4$ ચક દરમિયાન શોષણ થાય છે. ઊર્જા સોતને પાછી મળે છે.

7.5 કેપેસીટર (સંધારક)ને લાગુ પાડેલ AC વોલ્ટેજ (AC VOLTAGE APPLIED TO A CAPACITOR)

આકૃતિ 7.8 શુદ્ધ કેપેસીટીવ ac પરિપथ દર્શાવે છે, જેમાં $v = v_m \sin \omega t$ ac વોલ્ટેજ ઉત્પન્ન કરતો ac સોત એ માત્ર કેપેસીટર સાથે જોડેલ છે.

જ્યારે dc પરિપથમાં વોલ્ટેજ સોત સાથે કેપેસીટરને જોડવામાં આવે છે ત્યારે થોડા સમય માટે પ્રવાહ પસાર થાય છે, જે કેપેસીટરને વિદ્યુતભારિત (Charge) કરવા માટે જરૂરી છે. કેપેસીટરની ખેટો પર વિદ્યુતભાર એકઠો થતાં બે ખેટો વચ્ચેનો વોલ્ટેજ વધે છે જે પ્રવાહનો વિરોધ કરે છે. આમ, dc પરિપથમાં જેમ કેપેસીટર વિદ્યુતભારિત (ચાર્જ) થતું જાય તેમ કેપેસીટર પ્રવાહને મર્યાદિત કરે છે અથવા તેનો વિરોધ કરે છે. જ્યારે કેપેસીટર સંપૂર્ણ વિદ્યુતભારિત (ચાર્જ) થાય છે ત્યારે પરિપથનો પ્રવાહ ઘટીને શૂન્ય બને છે.

જ્યારે કેપેસીટરને ac સોત સાથે આકૃતિ 7.8 મુજબ જોડવામાં આવે છે ત્યારે તે પ્રવાહને સીમિત અથવા નિયંત્રિત કરે છે, પરંતુ વિદ્યુતભારના વહનને સંપૂર્ણ રીતે રોકાનું નથી. જેમ પ્રવાહ પ્રત્યેક અર્ધચક દરમિયાન ઉલટાય છે તેમ કેપેસીટર આવત્ત રીતે વિદ્યુતભારિત (ચાર્જ) અને વિદ્યુતવિભારિત (ડીસ્ચાર્જ) થતું રહે છે. ધારો કે કોઈ એક t કષેત્રે કેપેસીટર પરનો વિદ્યુતભાર q છે. બે ખેટો વચ્ચે તાત્કષિક વોલ્ટેજ v

$$v = \frac{q}{C} \quad (7.15)$$

છે. કિર્ચોફના બંધગાળાનાં નિયમ મુજબ સોતનાં બે છેડા વચ્ચેનો અને કેપેસીટરની બે ખેટ વચ્ચેનો વોલ્ટેજ સમાન હોય છે.

$$v_m \sin \omega t = \frac{q}{C}$$

પ્રવાહ શોધવા માટે આપણે $i = \frac{dq}{dt}$ સંબંધનો ઉપયોગ કરીશું.

$$i = \frac{d}{dt} (v_m C \sin \omega t) = \omega C v_m \cos(\omega t)$$

$\cos(\omega t) = \sin(\omega t + \frac{\pi}{2})$ સંબંધનો ઉપયોગ કરતાં,

$$i = i_m \sin\left(\omega t + \frac{\pi}{2}\right) \quad (7.16)$$

જ્યાં, $i_m = \omega C v_m$ દોલિત થતા પ્રવાહનો કંપવિસ્તાર છે. તેને આપણે નીચે મુજબ ફરી લખી શકીએ.

$$i_m = \frac{v_m}{(1/\omega C)}$$

આ સમીકરણને શુદ્ધ અવરોધકીય પરિપથ માટેનાં $i_m = v_m/R$ સાથે સરખાવતાં, આપણે જોઈ શકીએ છીએ કે, $(1/\omega C)$ અવરોધના જેવો જ ભાગ ભજવે છે. તેને કેપેસીટીવ રીએક્ટન્સ કહે છે અને તેને X_C વડે દર્શાવાય છે.

$$X_C = 1/\omega C \quad (7.17)$$

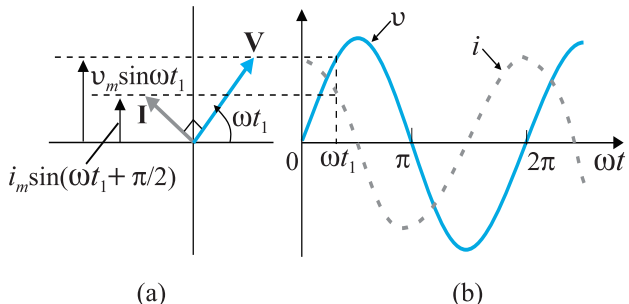
તેથી પ્રવાહનો કંપવિસ્તાર

$$i_m = \frac{v_m}{X_C} \quad (7.18)$$



આકૃતિ 7.8 કેપેસીટર સાથે જોડેલ ac સોત

ભૌતિકવિજ્ઞાન



આકૃતિ 7.9 (a) આકૃતિ 7.8માં દર્શાવેલ પરિપथ માટે ફેઝ ડાયાગ્રામ (b) v અને i વિરુદ્ધ ઘણો આવેખ

જેટલો આગળ રહે તેમ તેઓ વિષમધદી દિશામાં બ્રમણ કરે છે. આકૃતિ 7.9(b) સમય સાથે વોલ્ટેજ અને પ્રવાહમાં થતાં ફેરફારો દર્શાવે છે. આપણે જોઈ શકીએ છીએ કે, વોલ્ટેજ કરતાં પ્રવાહ એક ચતુર્થાંશ આવત્તકાળ જેટલા વહેલા સમયે મહત્તમ મૂલ્ય મેળવે છે.

કેપેસીટરને પૂરો પડાતો તાત્કષિક પાવર

$$\begin{aligned} p_c &= iv = i_m \cos(\omega t) v_m \sin(\omega t) \\ &= i_m v_m \cos(\omega t) \sin(\omega t) \\ &= \frac{i_m v_m}{2} \sin(2\omega t) \end{aligned} \quad (7.19)$$

આમ, કેપેસીટરમાં ઈન્ડક્ટરના કિસ્સા પ્રમાણે સરેરાશ પાવર,

$$P_c = \left\langle \frac{i_m v_m}{2} \sin(2\omega t) \right\rangle = \frac{i_m v_m}{2} \langle \sin(2\omega t) \rangle = 0$$

કારણ કે, એક પૂર્ણ ચક પર $\langle \sin(2\omega t) \rangle = 0$ આકૃતિ 7.10 આ બાબતને વિસ્તારથી સમજાવે છે.

આમ, આપણે જોયું કે, ઈન્ડક્ટરનાં કિસ્સામાં પ્રવાહ વોલ્ટેજ કરતાં $\pi/2$ જેટલો પાછળ અને કેપેસીટરનાં કિસ્સામાં પ્રવાહ, વોલ્ટેજ કરતાં $\pi/2$ જેટલો આગળ હોય છે.

ઉદાહરણ 7.3

ઉદાહરણ 7.3 એક બલ્બને કેપેસીટર સાથે શ્રેષ્ઠીમાં જોડેલ છે. dc અને ac જોડાણ માટે તમારા અવલોકનોનું અનુમાન કરો. જો કેપેસીટરનું કેપેસિટન્સ ઘટાડવામાં આવે તો દરેક કિસ્સામાં શું થશે?

ઉકેલ જ્યારે કેપેસીટર સાથે dc સોત જોડવામાં આવે છે ત્યારે કેપેસીટર વિદ્યુતભારિત (ચાર્જ) થાય છે. પૂર્ણ વિદ્યુતભારિત થયા બાદ પરિપથમાં પ્રવાહ વહેતો નથી અને બલ્બ પ્રકાશિત થતો નથી. કેપેસીટન્સ ઘટાડવા છતાં તેમાં કોઈ જ ફેરફાર થતો નથી.

ac સોત માટે કેપેસીટર $1/\omega C$ જેટલો કેપેસીટીવ રીએક્ટન્સ ધરાવે છે અને પરિપથમાં પ્રવાહ વહે છે. પરિણામે બલ્બ પ્રકાશિત થાય છે. ત્થાં ઘટાડો કરતાં રીએક્ટન્સ વધે છે અને બલ્બ પહેલાં કરતાં ઓછા તેજથી પ્રકાશિત થાય છે.

ઉદાહરણ 7.4

ઉદાહરણ 7.4 250 V, 50 Hzના સોત સાથે $15.0 \mu F$ ના કેપેસીટરને જોડવામાં આવેલ છે. પરિપથમાં કેપેસીટીવ રીએક્ટન્સ અને પ્રવાહનું (rms અને મહત્તમ) મૂલ્ય શોધો. જો આવૃત્તિને બમણી કરવામાં આવે તો કેપેસીટીવ રીએક્ટન્સ અને પ્રવાહનાં મૂલ્યો પર શું અસર થશે?

ઉકેલ કેપેસીટીવ રીએક્ટન્સ,

$$X_C = \frac{1}{2\pi v C} = \frac{1}{2\pi(50\text{Hz})(15.0 \times 10^{-6} \text{ F})} = 212 \Omega$$

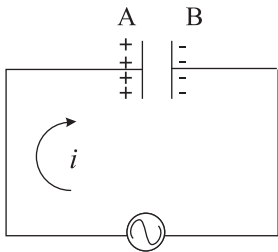
rms પ્રવાહ,

કેપેસીટીવ રીએક્ટન્સનું પરિમાણ અવરોધનાં પરિમાણ જેવું જ છે અને તેનો SI એકમ ohm(Ω) છે. શુદ્ધ અવરોધવાળા પરિપથમાં જેમ અવરોધ પ્રવાહને સીમિત (નિયંત્રિત) કરે છે તેવી જ રીતે શુદ્ધ કેપેસીટીવ પરિપથમાં કેપેસીટીવ રીએક્ટન્સ પ્રવાહનાં કંપવિસ્તારને સીમિત કરે છે. પરંતુ તે કેપેસીટન્સ અને આવૃત્તિનાં વ્યસ્ત પ્રમાણમાં હોય છે.

સોત વોલ્ટેજનાં સમીકરણ (7.1) અને સમીકરણ (7.16)ની સરખામણી દર્શાવે છે કે વોલ્ટેજ કરતાં પ્રવાહ કળામાં $\pi/2$ જેટલો આગળ છે. આકૃતિ 7.9(a) કોઈ એક t_1 કષેત્રે ફેઝ ડાયાગ્રામ દર્શાવે છે. અહીં, પ્રવાહ ફેઝ ડાયાગ્રામ વોલ્ટેજ ફેઝ ડાયાગ્રામ અને પ્રવાહ વિરુદ્ધ ઘણો આવેખ

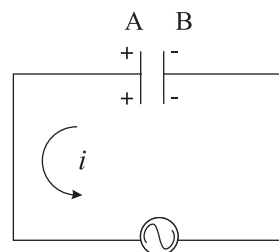
દર્શાવે છે. અહીં, પ્રવાહ ફેઝ ડાયાગ્રામ વોલ્ટેજ ફેઝ ડાયાગ્રામ અને પ્રવાહ વિરુદ્ધ ઘણો આવેખ

પ્રત્યાવર્તી પ્રવાહ



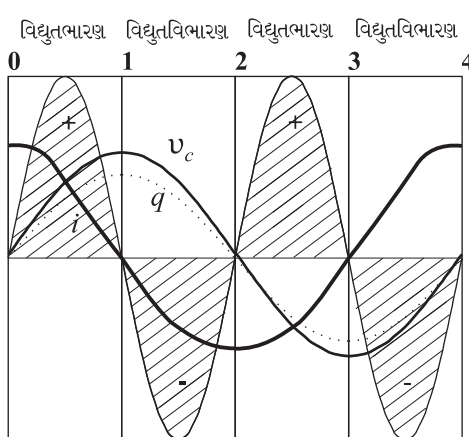
0-1 દરમિયાન આકૃતિમાં દર્શાવ્યા મુજબ પ્રવાહ વહે છે અને તે 0 પાસે મહત્તમથી 1 પાસે શૂન્ય સુધી પહોંચે છે. ખેટર A ધન વિદ્યુતભારિત થાય છે જ્યારે ખેટર B પર ઝણ વિદ્યુતભાર q જમા થતો જાય છે અને 1 પાસે પ્રવાહ શૂન્ય થાય ત્યાં સુધીમાં મહત્તમ થાય છે. વોલ્ટેજ $v_c = q/C$ વિદ્યુતભાર q સાથે સમાન કળામાં હોય છે અને તેનું મૂલ્ય 1 પાસે મહત્તમ હોય છે. પ્રવાહ અને વોલ્ટેજ બંને ધન હોવાથી પાવર $p = v_c i$ ધન છે.

આ ચોથા ભાગનાં ચક દરમિયાન સોતમાંથી ઊર્જાનું શોષણ થાય છે અને કેપેસીટર વિદ્યુતભારિત થાય છે.

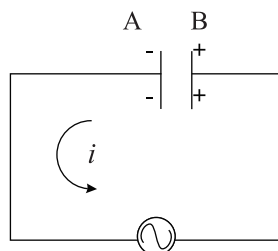


1-2 દરમિયાન પ્રવાહ તની દિશા ઉલટાઈ જાય છે. સંગ્રહિત વિદ્યુતભાર છિનવાઈ જાય છે. એટલે કે આ ચોથા ભાગનાં ચક દરમિયાન કેપેસીટર વિદ્યુતવિભારિત (ડિસ્કાર્જ) થાય છે. વોલ્ટેજ ઘટે છે પરંતુ હજુ તે ધન હોય છે. પ્રવાહ ઝણ હોય છે અને તેમનો ગુણાકાર એટલે પાવર ઝણ હોય છે.

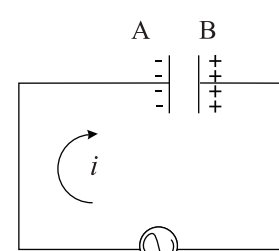
0-1નાં ચોથા ભાગનાં ચક દરમિયાન શોષાયેલ ઊર્જા આ ચોથાભાગનાં ચક દરમિયાન સોતને પાછી મળે છે.



વોલ્ટેજ/પ્રવાહનું એક પૂર્ણ ચક. નોંધો કે પ્રવાહ વોલ્ટેજ કરતાં આગળ છે.



2-3 દરમિયાન પ્રવાહ i , Aથી B તરફ વહે છે. કેપેસીટર વિરુદ્ધ ધ્રુવત્વ (પોલારીટી) માટે વિદ્યુતભારિત થાય છે. એટલે કે ખેટર B ધન વિદ્યુતભાર અને ખેટર A ઝણ વિદ્યુતભાર મેળવે છે. વોલ્ટેજ અને પ્રવાહ બંને ઝણ હોય છે. તેમનો ગુણાકાર p ધન હોય છે. આ ચોથાભાગનાં ચક દરમિયાન કેપેસીટર ઊર્જાનું શોષણ કરે છે.



3-4 દરમિયાન 3 પાસે પ્રવાહ તની દિશા ઉલટાઈ જાય છે અને તે Bથી A તરફ વહે છે. સંગ્રહિત થયેલ વિદ્યુતભાર છિનવાઈ જાય છે અને વોલ્ટેજનું મૂલ્ય v_c ઘટે છે. જ્યારે કેપેસીટર સંપૂર્ણ ડિસ્કાર્જ થાય છે ત્યારે 4 પાસે v_c શૂન્ય બને છે. પાવર ઝણ છે. 2-3 દરમિયાનમાં શોષાયેલ ઊર્જા સોતને પાછી મળે છે. શોષાયેલ ચોખ્ખી ઊર્જા શૂન્ય હોય છે.



દિશાદરેખ 7.4

$$I = \frac{V}{X_C} = \frac{220V}{212\Omega} = 1.04A$$

મહત્તમ પ્રવાહ

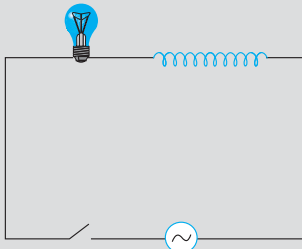
$$i_m = \sqrt{2} I = (1.41)(1.04) = 1.47A$$

આ પ્રવાહ $+1.47A$ અને $-1.47A$ ની વચ્ચે દોળનો કરશો અને તે વોલ્ટેજ કરતાં $\pi/2$ જેટલો આગળ હશે.

જો સોત આવૃત્તિ બમણો કરવામાં આવે તો કેપેસિટીવ રીએક્ટન્સનું મૂલ્ય અડ્યું થશે. પરિણામે પ્રવાહ બમણો થશે.

દિશાદરેખ 7.5

ઉદાહરણ 7.5 આકૃતિ 7.11માં દર્શાવ્યા મુજબ એક પ્રકાશીય બલ્બ અને એક ઓપન કોઈલ ઈન્ડક્ટરને એસી સોત સાથે કળ દ્વારા જોડેલ છે.



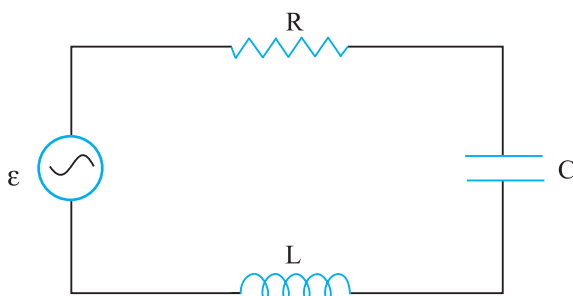
આકૃતિ 7.11

કળ બંધ કર્યો પછી થોડા સમય બાદ ઈન્ડક્ટરનાં અંદરનાં વિસ્તાર (ગર્ભ)માં લોખંડનો સણિયો દાખલ કરવામાં આવતાં પ્રકાશીય બલ્બની પ્રકાશિતતા (a) વધશે (b) ઘટશે (c) કોઈ જ ફેરફાર નહીં થાય. તમારો જવાબ કારણ સહિત આપો.

ઉકેલ લોખંડના સણિયાને જ્યારે અંદર દાખલ કરવામાં આવે છે ત્યારે કોઈલની અંદરનું ચુંબકીયક્ષેત્ર લોખંડનું મેનેટોઇઝેશન (ચુંબકીયકરણ) કરે છે. જેથી અંદરનાં ચુંબકીયક્ષેત્રમાં વધારો થાય છે. તેથી, કોઈલનું ઈન્ડક્ટરન (પ્રેરકત્વ) વધે છે. પરિણામે, કોઈલનો ઈન્ડક્ટીવ રીએક્ટન્સ વધે છે. જેના પરિણામે લાગુ પાડેલ એસી વોલ્ટેજનો મોટો ભાગ ઈન્ડક્ટરનાં બે છેડા વચ્ચે લાગુ પડે છે અને બલ્બનાં બે છેડે ઓછો વોલ્ટેજ હોય છે તેથી બલ્બની પ્રકાશિતતા ઘટે છે.

7.6 LCR શ્રેષ્ઠી પરિપથને લાગુ પાડેલ AC વોલ્ટેજ (AC VOLTAGE APPLIED TO A SERIES LCR CIRCUIT)

આકૃતિ 7.12, ac સોત દ સાથે જોડેલ શ્રેષ્ઠી L-C-R પરિપથ દર્શાવે છે. અગાઉની માફક આપણે ac સોતનું વોલ્ટેજ $v = v_m \sin \omega t$ લઈશું.



આકૃતિ 7.12 LCR શ્રેષ્ઠી પરિપથ સાથે જોડેલ ac સોત

જો કોઈ એક t કાંશે કેપેસિટર પરનો વીજભાર q અને પરિપથમાં પ્રવાહ i હોય તો કિર્ચોફના બંધગાળાનાં નિયમ પરથી,

$$L \frac{di}{dt} + iR + \frac{q}{C} = v \quad (7.20)$$

આપણે તાત્કષિક પ્રવાહ i અને લાગુ પાડેલ પ્રત્યાવતી વોલ્ટેજ v સાથે તેનો કળા સંબંધ શોધવા માગીએ છીએ. આપણે આ કોયડો બે પદ્ધતિથી ઉકેલીશું. પ્રથમ પદ્ધતિમાં ફેરની પ્રયુક્તિ અને બીજી પદ્ધતિમાં પ્રવાહ i -નો સમય પરનો આધાર મેળવવા સમીક્ષા (7.20)નો વિશ્લેષણથી (બૈજિક રીતે) ઉકેલ મેળવીશું.

7.6.1 ફેઝ ડાયાગ્રામ દ્વારા ઉકેલ (Phasor-Diagram Solution)

આકૃતિ 7.12માંના પરિપथ પરથી આપણે જોઈ શકીએ છીએ કે, અવરોધક ઈન્ડક્ટર અને કેપેસીટર શ્રેણી જોડાશીમાં છે. માટે કોઈપણ સમયે પરિપથના દરેક ઘટકમાં સમાન કંપવિસ્તાર અને સમાન કળાવાળો એકસમાન પ્રવાહ હશે. ધારોકે તે,

$$I_i = i_m \sin(\omega t + \phi) \quad (7.21)$$

છે. જ્યાં, ϕ સોતનાં બે છેડા વચ્ચેનાં વોલ્ટેજ અને પરિપથમાં પ્રવાહ વચ્ચેનો કળા તફાવત છે. અગાઉનાં પરિચ્છેદમાં આપણે જે શીખ્યા તેનાં આધારે પ્રસ્તુત ડિસ્સામાં આપણે ફેઝ ડાયાગ્રામ તૈયાર કરીશું.

સમીકરણ (7.21) વડે રજૂ થતા પરિપથ પ્રવાહને દર્શાવતો ફેઝ ધારો કે I છે. વધુમાં ધારોકે, ઈન્ડક્ટર, અવરોધક, કેપેસીટર અને સોતનાં બે છેડા વચ્ચેના વોલ્ટેજને રજૂ કરતાં ફેઝ અનુક્રમે ધારોકે, V_L, V_R, V_C અને V છે. અગાઉના પરિચ્છેદ મુજબ આપણે જાણીએ છીએ કે, V_R, I ને સમાંતર છે. V_C, I કરતાં $\pi/2$ જેટલો પાછળ છે અને V_L, I કરતાં $\pi/2$ જેટલો આગળ છે. આકૃતિ 7.13(a)માં V_L, V_R, V_C અને I ને યોગ્ય કળા સંબંધ સાથે દર્શાવેલ છે.

આ ફેઝરોની લંબાઈ અથવા V_R, V_C અને V_L નાં કંપવિસ્તાર નીચે મુજબ છે.

$$v_{Rm} = i_m R, v_{Cm} = i_m X_C, v_{Lm} = i_m X_L \quad (7.22)$$

પરિપથ માટે વોલ્ટેજનું સમીકરણ (7.20) નીચે મુજબ લખી શકાય.

$$V_L + V_R + V_C = V \quad (7.23)$$

ફેઝ સંબંધ કે જેનો ઉધ્વ ઘટક ઉપરનું સમીકરણ આપે છે તે નીચે મુજબ આપી શકાય.

$$V_L + V_R + V_C = V \quad (7.24)$$

આ સંબંધને આકૃતિ 7.13(b)માં રજૂ કરેલ છે. V_C અને V_L હુમેશાં એક રેખા પર પરસ્પર વિક્રદ્ધ દિશામાં હોવાથી તેમને સંયોજિતરૂપે

એક જ ફેઝ ($V_C + V_L$) તરીકે લઈ શકાય જેનું માન $|v_{Cm} - v_{Lm}|$ છે. V જેની બાજુઓ V_R અને $(V_C + V_L)$ હોય તેવા કાટકોણ નિકોણના કર્ણ તરીકે રજૂ થતો હોવાથી, પાયથાપોરસ પ્રમેય મુજબ,

$$v_m^2 = v_{Rm}^2 + (v_{Cm} - v_{Lm})^2$$

v_{Rm}, v_{Cm} અને v_{Lm} નાં મૂલ્યો, સમીકરણ (7.22) પરથી ઉપરોક્ત સમીકરણમાં મૂકતાં,

$$v_m^2 = (i_m R)^2 + (i_m X_C - i_m X_L)^2$$

$$v_m^2 = i_m^2 [R^2 + (X_C - X_L)^2]$$

$$\text{અથવા } i_m = \frac{v_m}{\sqrt{R^2 + (X_C - X_L)^2}}$$

[7.25(a)]

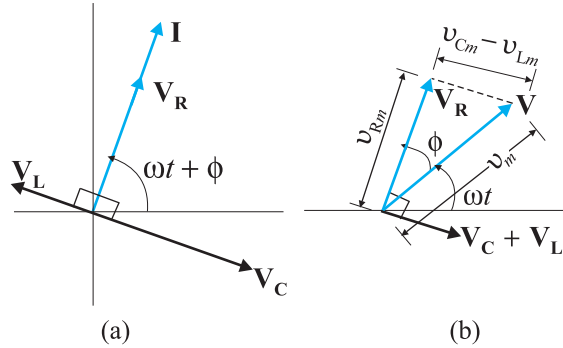
મળે. પરિપથમાં અવરોધ સાથેની સામ્યતા પરથી આપણે ac પરિપથમાં ઈમ્પિન્સ Z ને દાખલ કરીશું.

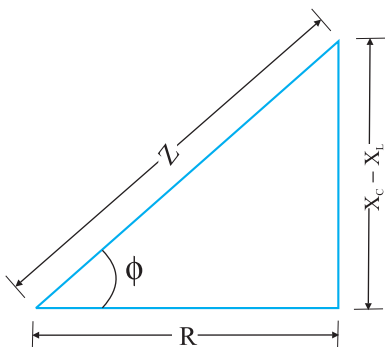
$$i_m = \frac{v_m}{Z}$$

[7.25(b)]

$$\text{જ્યાં, } Z = \sqrt{R^2 + (X_C - X_L)^2}$$

(7.26)





આકૃતિ 7.14 ઇમ્પિડન્સ ડાયાગ્રામ

ફેઝર I હંમેશા ફેઝર V_R ને સમાંતર છે કળા ખૂણો ϕ એટા V_R અને V વચ્ચેનો ખૂણો છે અને તે આકૃતિ 7.14 પરથી નક્કી કરી શકાય છે.

$$\tan\phi = \frac{V_{Cm} - V_{Lm}}{V_{Rm}}$$

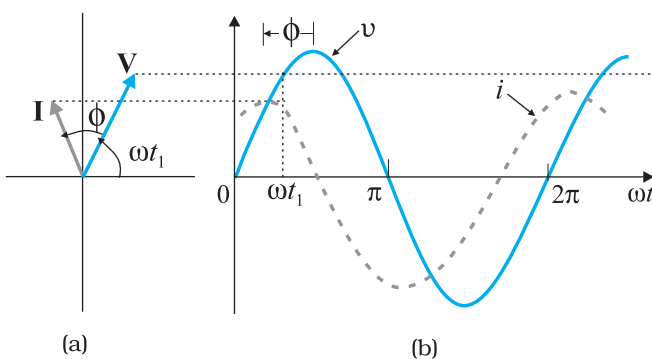
સમીકરણ (7.22)નો ઉપયોગ કરતાં, આપણાને

$$\tan\phi = \frac{X_C - X_L}{R} \quad (7.27)$$

મળે. આકૃતિ 7.14માં સમીકરણ (7.26) અને (7.27)ને આલેખીય રીતે દર્શાવેલ છે. અને ઇમ્પિડન્સ ડાયાગ્રામ કહે છે, જે કર્ણ તરીકે Z હોય તેવો એક કાટકોણ નિકોણ છે.

સમીકરણ 7.25(a) પ્રવાહનો કંપવિસ્તાર આપે છે અને સમીકરણ (7.27) કળા-ખૂણો આપે છે. આ સાથે જ સમીકરણ (7.21) સંપૂર્ણ રીતે રજૂ થાય છે.

જો $X_C > X_L$ હોય તો, ϕ ધન બનશે અને પરિપथ પ્રભાવી રીતે (Predominantly) કેપેસીટીવ બને છે. પરિણામે પરિપથમાં પ્રવાહ સોત વોલ્ટેજ કરતાં આગળ હોય છે. જો $X_C < X_L$ હોય તો ϕ ઝાણ બને છે અને પરિપથ પ્રભાવી રીતે ઈન્ડક્ટીવ બને છે. પરિણામે પરિપથમાં પ્રવાહ સોત વોલ્ટેજ કરતાં પાછળ હોય છે. એ આકૃતિ 7.15 $X_C > X_L$ નાં કિસ્સા માટે, ફેઝર ડાયાગ્રામ તથા પ અને તમાં ωt સાથે થતાં ફેરફારો દર્શાવે છે.



આકૃતિ 7.15 (a) V અને I નાં ફેઝર ડાયાગ્રામ (b) L-C-R શ્રેષ્ઠ પરિપથ માટે v અને i વિરુદ્ધ વાળો આલેખ જ્યાં ($X_C > X_L$)

આમ, ફેઝરની પ્રક્રિયાનો ઉપયોગ કરીને આપણે LCR શ્રેષ્ઠી પરિપથ માટે પ્રવાહનો કંપવિસ્તાર અને કળા મેળવ્યા. પરંતુ વિશ્લેષણની આ પદ્ધતિના ac પરિપથ માટે કેટલાંક ગેરલાભ છે. પ્રથમ, ફેઝર ડાયાગ્રામ પ્રારંભિક શરત/સ્થિતિની કોઈ જ માહિતી આપતો નથી. તમે ત્યારું કોઈ પણ યાદચિક મૂલ્ય (જેમકે આ પ્રકરણમાં બધે જ આપણે t_1 લીધેલ છે) લઈ શકો છો. અને જુદા જુદા ફેઝર વચ્ચેનો સાપેક્ષ ખૂણો દર્શાવતાં જુદા જુદા ફેઝર દોરી શકો છો. આ રીતે મેળવેલ ઉકેલને સ્થાયી અવસ્થા ઉકેલ કરે છે. આ બાપક ઉકેલ નથી. ઉપરાંત આપણી પાસે ક્ષણિક ઉકેલ

પણ છે જે $v = 0$ માટે પણ લાગુ પડે. સ્થાયી અવસ્થા ઉકેલ અને ક્ષણિક ઉકેલનાં સમન્વયથી મળતો ઉકેલ એ બાપક ઉકેલ છે. પુરતાં લાંબા સમય બાદ, ક્ષણિક ઉકેલની અસર નાણ પામે છે અને સ્થાયી અવસ્થા ઉકેલ દ્વારા પરિપથ વર્તાણૂંકનું વર્ણન કરી શકાય છે.

7.6.2 વૈશ્લેષિક ઉકેલ (Analytical Solution)

પરિપથ માટેનું વોલ્ટેજ સમીકરણ,

$$L \frac{di}{dt} + Ri + \frac{q}{C} = v$$

$$= v_m \sin \omega t \quad (7)$$

આપણે જાણીએ છીએ કે, $i = dq/dt$. તેથી $di/dt = d^2q/dt^2$. આમ, q નાં પદમાં વોલ્ટેજ સમીકરણ નીચે મુજબ મળે.

પ્રત્યાવર્તી પ્રવાહ

$$L \frac{d^2q}{dt^2} + R \frac{dq}{dt} + \frac{q}{C} = v_m \sin \omega t \quad (7.28)$$

આ સમીકરણ બળપ્રેરિત અવમંદિત દોલકનાં સમીકરણ જેવું છે.(જુઓ ધોરણ XI ભौતિકવિજ્ઞાન પાઠ્યપુસ્તક સમીકરણ [14.37(b)]). ધારોકે, આનો ઉકેલ,

$$q = q_m \sin(\omega t + \theta) \quad [7.29(a)]$$

$$\text{એથે } \frac{dq}{dt} = q_m \omega \cos(\omega t + \theta) \quad [7.29(b)]$$

$$\text{અને } \frac{d^2q}{dt^2} = -q_m \omega^2 \sin(\omega t + \theta) \quad [7.29(c)]$$

સમીકરણ (7.28)માં આ મૂલ્યો મૂકતાં,

$$q_m \omega [R \cos(\omega t + \theta) + (X_C - X_L) \sin(\omega t + \theta)] = v_m \sin \omega t \quad (7.30)$$

મળે. જ્યાં, આપણે $X_C = 1/\omega C$, $X_L = \omega L$ સંબંધનો ઉપયોગ કર્યો છે.

સમીકરણ (7.30)ને $Z = \sqrt{R^2 + (X_C - X_L)^2}$ વડે ગુણતા અને ભાગતાં, આપણને

$$q_m \omega Z \left[\frac{R}{Z} \cos(\omega t + \theta) + \frac{(X_C - X_L)}{Z} \sin(\omega t + \theta) \right] = v_m \sin \omega t \quad (7.31)$$

મળે. હવે ધારોકે, $\frac{R}{Z} = \cos \phi$

અને $\frac{(X_C - X_L)}{Z} = \sin \phi$

$$\text{તેથી } \phi = \tan^{-1} \frac{(X_C - X_L)}{R} \quad (7.32)$$

સમીકરણ (7.31)માં આ મૂલ્યો મૂકી સાફુરૂપ આપતાં, આપણને

$$q_m \omega Z \cos(\omega t + \theta - \phi) = v_m \sin \omega t \quad (7.33)$$

મળે. સમીકરણની બંને ભાગ્યને સરખાવતાં આપણે જોઈ શકીએ છીએ કે,

$$v_m = q_m \omega Z = i_m Z, \text{ જ્યાં, } i_m = q_m \omega \quad [7.33(a)]$$

$$\text{અને } \theta - \phi = -\frac{\pi}{2} \text{ અથવા } \theta = -\frac{\pi}{2} + \phi \quad [7.33(b)]$$

તેથી પરિપથમાં પ્રવાહ

$$\begin{aligned} i &= \frac{dq}{dt} = q_m \omega \cos(\omega t + \theta) \\ &= i_m \cos(\omega t + \theta) \end{aligned} \quad (7.34)$$

$$\text{અથવા } i = i_m \sin(\omega t + \phi) \quad (7.34)$$

$$\text{જ્યાં, } i_m = \frac{v_m}{Z} = \frac{v_m}{\sqrt{R^2 + (X_C - X_L)^2}} \quad [7.34(a)]$$

$$\text{અને } \phi = \tan^{-1} \frac{(X_C - X_L)}{R}$$

આમ, પરિપथમાં પ્રવાહનો કંપવિસ્તાર અને કળા માટેનો વિશ્લેષિક ઉકેલ ફેઝ પ્રયુક્તિથી મેળવેલ ઉકેલને મળતો આવે છે.

7.6.3 અનુનાદ (Resonance)

RLC શ્રેણી પરિપથની એક રસપ્રદ લાક્ષણિકતા એ અનુનાદની ઘટના છે. કોઈ એક નિશ્ચિત આવૃત્તિથી દોલન કરવાની વૃત્તિ ધરાવતા બધા જ તંત્રો માટે અનુનાદ એક સામાન્ય ઘટના છે. આ આવૃત્તિને તંત્રની પ્રાકૃતિક આવૃત્તિ કહે છે. જો આવું કોઈ તંત્ર એવા ઊર્જા સોતથી સંચાલિત થતું હોય કે જેની આવૃત્તિ તંત્રની પ્રાકૃતિક આવૃત્તિની નજીક હોય તો દોલનોનો કંપવિસ્તાર મોટો થાય છે. આ ઘટનાનું એક જાણીતું ઉદાહરણ હીચકા પર જોવા ખાતું બાળક છે. લોલકની માફક આગળ-પાછળ થતાં હીચકાના દોલનોને પ્રાકૃતિક આવૃત્તિ હોય છે. જો બાળક દોરીને નિયમિત સમય અંતરાલે બેંચે અને દોરી બેંચવાની આવૃત્તિ હીચકાની પ્રાકૃતિક આવૃત્તિની નજીક હોય તો હીચકાનો કંપવિસ્તાર મોટો થશે. (જુઓ ધોરણ XI, પ્રકરણ-14)

v_m કંપવિસ્તાર અને ω આવૃત્તિનાં વોલ્ટેજ વડે સંચાલિત RLC પરિપથ માટે આપણાને મળતો પ્રવાહનો કંપવિસ્તાર

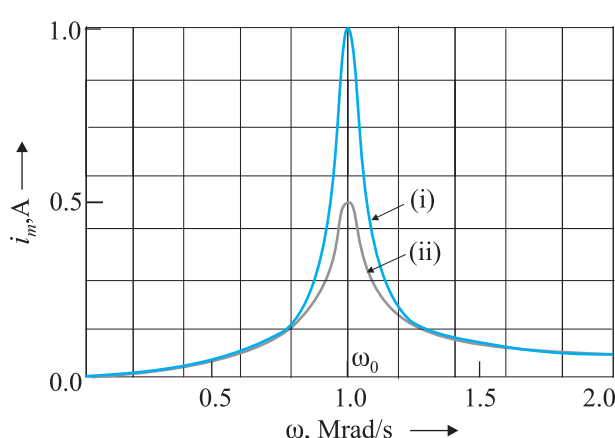
$$i_m = \frac{v_m}{Z} = \frac{v_m}{\sqrt{R^2 + (X_C - X_L)^2}} \text{ થાય છે.}$$

છે. જ્યાં, $X_C = 1/\omega C$ અને $X_L = \omega L$.

આમ, જો યમાં ફેરફાર કરવામાં આવે તો એક નિશ્ચિત આવૃત્તિ ω_0 માટે, $X_C = X_L$ અને ઈમ્પિડન્સ લઘુત્તમ ($Z = \sqrt{R^2 + 0^2} = R$) બને છે. આ આવૃત્તિને અનુનાદ આવૃત્તિ કહે છે.

$$\begin{aligned} X_C &= X_L \quad \text{અથવા} \quad \frac{1}{\omega_0 C} = \omega_0 L \\ \text{અથવા} \quad \omega_0 &= \frac{1}{\sqrt{LC}} \end{aligned} \tag{7.35}$$

અનુનાદીય આવૃત્તિએ પ્રવાહનો કંપવિસ્તાર $i_m = v_m/R$ જેટલો મહત્તમ હોય છે.



આકૃતિ 7.16 વાં સાથે i_m માં થતાં ફેરફારો બે ડિસ્સા માટે

(i) $R = 100 \Omega$ (ii) $R = 200 \Omega$ બંને ડિસ્સામાં $L = 1.00 \text{ mH}$

આકૃતિ 7.16, $L = 1.00 \text{ mH}$, $C = 1.00 \text{ nF}$ તથા અવરોધ R નાં બે મૂલ્યો $R = 100 \Omega$ અને $R = 200 \Omega$ માટે RLC શ્રેણી પરિપથમાં ω સાથે i_m માં થતાં ફેરફારો દર્શાવે છે. લાગુ પાઠેલ સોત માટે $v_m = 100 \text{ V}$, આ ડિસ્સા માટે

$$\omega_0 = \left(\frac{1}{\sqrt{LC}} \right) = 1.00 \times 10^6 \text{ rad/s} \text{ છે.}$$

આપણે જોઈ શકીએ છીએ કે, અનુનાદીય આવૃત્તિ માટે પ્રવાહનો કંપવિસ્તાર મહત્તમ છે. અનુનાદની સ્થિતિએ $i_m = v_m/R$ હોવાથી ડિસ્સા (i)માં પ્રવાહનો કંપવિસ્તાર ડિસ્સા (ii)માંના કંપવિસ્તાર કરતાં બમણો છે.

અનુનાદીય પરિપથોનાં ઉપયોજનોમાં વિવિધતા છે ઉદાહરણ તરીકે રેટિયો અથવા TV સેટની ટ્યુનિંગ કરવાની પ્રક્રિયામાં રેટિયો-એન્ટેના ઘણાં બધાં બ્રોડકાસ્ટિંગ સ્ટેશનોના સિનનલો મેળવે છે. એન્ટેના દ્વારા મેળવાયેલ સિનનલો, રેટિયોનાં ટ્યુનિંગ પરિપથ માટે સોત તરીકે વર્ત છે તેથી,

પ્રત્યાવર્તી પ્રવાહ

પરિપથ ઘણી બધી આવૃત્તિઓએ સંચાલિત થઈ શકે છે. પરંતુ કોઈ એક નિશ્ચિત રેઝિયો સ્ટેશન સાંભળવા માટે આપણે રેઝિયો ટ્યુન કરીએ છીએ. ટ્યુનિંગમાં આપણે ટ્યુનિંગ પરિપથમાંના કેપેસીટેરનું કેપેસીટન્સ એવી રીતે બદલીએ છીએ કે પરિપથની અનુનાદીય આવૃત્તિનું મૂલ્ય એન્ટેનાએ મેળવેલ નિશ્ચિત સ્ટેશનના રેઝિયો સિગનલની આવૃત્તિની લગભગ બરાબર હોય. જ્યારે આમ થાય છે ત્યારે નિશ્ચિત રેઝિયો સ્ટેશનનાં સિગનલોની આવૃત્તિ જેટલી જ આવૃત્તિ માટે પરિપથમાં પ્રવાહનો કંપવિસ્તાર મહત્તમ બને છે.

એ નોંધવું મહત્વનું છે કે, જે પરિપથમાં L અને C બંને હાજર હોય તેવા પરિપથો દ્વારા જ અનુનાદની ઘટના પ્રદર્શિત થાય છે. આમ હોય તો જ Lના બે છેડા વચ્ચેનો વોલ્ટેજ અને C બે છેડા વચ્ચેનો વોલ્ટેજ (બંને વિરુદ્ધ કળામાં હોવાને કારણે) એકબીજાને નાબૂદ કરે છે અને પ્રવાહનો કંપવિસ્તાર $i_m = v_m/R$ હોય છે અને સોતનો સંપૂર્ણ વોલ્ટેજ અવરોધ Rનાં બે છેડા વચ્ચે મળે છે. આનો અર્થ એ છે કે RL અને RC પરિપથમાં આપણે અનુનાદ મેળવી શકીએ નહીં.

અનુનાદની તીક્ષ્ણતા (SHARPNESS OF RESONANCE) :

LCR શ્રેણી પરિપથમાં પ્રવાહનો કંપવિસ્તાર,

$$i_m = \frac{v_m}{\sqrt{R^2 + (\omega L - \frac{1}{\omega C})^2}}$$

છે અને જ્યારે $\omega = \omega_0 = \frac{1}{\sqrt{LC}}$ થાય ત્યારે તે મહત્તમ હોય છે. આ મહત્તમ મૂલ્ય, $i_m^{\max} = v_m/R$ છે.

એનાં ω_0 કરતાં બીજાં મૂલ્યો માટે પ્રવાહનો કંપવિસ્તાર મહત્તમ કંપવિસ્તાર કરતાં ઓછો હોય છે. ધારો કે આપણે એવું મૂલ્ય પસંદ કરીએ કે જ્યાં પ્રવાહનો કંપવિસ્તાર મહત્તમ કંપવિસ્તારનાં $1/\sqrt{2}$ ગણો થાય. આ મૂલ્ય માટે, પરિપથ વડે વ્યય થતા પાવરનું મૂલ્ય અડધું થાય છે. આડૂંતિ (7.16)માંના વક્ક પરથી જોઈ શકાય છે કે, એનાં આવા બે મૂલ્યો મળે છે, જેને ω_1 અને ω_2 કહીશું, જેમાં એક ω_0 કરતાં મોટું અને બીજું ω_0 કરતાં નાનું છે અને આ બંને મૂલ્યો એની આસપાસ સંમિતરૂપે છે. માટે આપણે લખી શકીએ કે,

$$\omega_1 = \omega_0 + \Delta\omega$$

$$\omega_2 = \omega_0 - \Delta\omega$$

આ બંને આવૃત્તિ વચ્ચેનો તફાવત $\omega_1 - \omega_2 = 2\Delta\omega$ ઘણી વખત પરિપથની બેન્ડવિડ્થ (Bandwidth) કહે છે. રાશિ ($\omega_0/2\Delta\omega$)ને અનુનાદ વક્કની તીક્ષ્ણતાના માપ તરીકે ગણવામાં આવે છે. જેમ મૂલ્ય નાનું હોય તેમ અનુનાદ વધુ તીક્ષ્ણ અથવા સાંકડો. $\Delta\omega$ નું સમીકરણ મેળવવા માટે એ નોંધીએ કે, $\omega_1 = \omega_0 + \Delta\omega$ થાય ત્યારે પ્રવાહ કંપવિસ્તાર $i_m = (1/\sqrt{2}) i_m^{\max}$ થાય.

$$\text{તેથી } \omega_1 \text{ માટે } i_m = \frac{v_m}{\sqrt{R^2 + \left(\omega_1 L - \frac{1}{\omega_1 C}\right)^2}}$$

$$= \frac{i_m^{\max}}{\sqrt{2}} = \frac{v_m}{R\sqrt{2}}$$



$$\text{અથવા} \quad \sqrt{R^2 + \left(\omega_1 L - \frac{1}{\omega_1 C}\right)^2} = R\sqrt{2}$$

$$\text{અથવા} \quad R^2 + \left(\omega_1 L - \frac{1}{\omega_1 C}\right)^2 = 2R^2$$

$$\omega_1 L - \frac{1}{\omega_1 C} = R$$

જે નીચે મુજબ લખી શકાય,

$$(\omega_0 + \Delta\omega)L - \frac{1}{(\omega_0 + \Delta\omega)C} = R$$

$$\omega_0 L \left(1 + \frac{\Delta\omega}{\omega_0}\right) - \frac{1}{\omega_0 C \left(1 + \frac{\Delta\omega}{\omega_0}\right)} = R$$

$$\text{ડાબી બાજુના બીજા પદમાં } \omega_0^2 = \frac{1}{LC} \text{ ને ઉપયોગ કરતાં,}$$

$$\omega_0 L \left(1 + \frac{\Delta\omega}{\omega_0}\right) - \frac{\omega_0 L}{\left(1 + \frac{\Delta\omega}{\omega_0}\right)} = R \text{ મળશ.}$$

$$\frac{\Delta\omega}{\omega_0} \ll 1 \text{ હોવાથી, } \left(1 + \frac{\Delta\omega}{\omega_0}\right)^{-1} \text{ ને સર્વીકરણ } \left(1 - \frac{\Delta\omega}{\omega_0}\right) \text{ લઈ શકીએ. આથી,}$$

$$\omega_0 L \left(1 + \frac{\Delta\omega}{\omega_0}\right) - \omega_0 L \left(1 - \frac{\Delta\omega}{\omega_0}\right) = R$$

$$\text{અથવા} \quad \omega_0 L \frac{2\Delta\omega}{\omega_0} = R$$

$$\Delta\omega = \frac{R}{2L} \quad [7.36(a)]$$

અનુનાદની તીક્ષ્ણતા નીચે મુજબ અપાય છે.

$$\frac{\omega_0}{2\Delta\omega} = \frac{\omega_0 L}{R} \quad [7.36(b)]$$

ગુણોત્તર $\frac{\omega_0 L}{R}$ ને પરિપથનો ક્વોલિટી ફેક્ટર (ગુણવત્તા અંક) Q પણ કહે છે.

$$Q = \frac{\omega_0 L}{R} \quad [7.36(c)]$$

સમીકરણ [7.36(b)] અને [7.36(c)] પરથી આપણને $2\Delta\omega = \frac{\omega_0}{Q}$ મળે. તેથી Qનું મૂલ્ય જેમ

પ્રત્યાવર્તી પ્રવાહ

મોટું તેમ $2\Delta\omega$ અથવા બેન્ડવિદ્ધનું મૂલ્ય નાનું અને અનુનાદની તીક્ષ્ણતા વધારે. સમીકરણ [7.36(c)]માં $\omega_0^2 = 1/LC$ નો ઉપયોગ કરતાં તેને સમતુલ્ય રીતે આ મુજબ દર્શાવી શકાય છે. $Q = 1/\omega_0 CR$.

આકૃતિ 7.15 પરથી આપણે જોઈ શકીએ છીએ કે, જો અનુનાદ ઓછો તીક્ષ્ણ હોય તો ફક્ત મહત્તમ પ્રવાહ જ ઓછો હોય તેમ નહિ પરંતુ આવૃત્તિઓનાં મોટા ગાળા $\Delta\omega$ માટે પરિપથ અનુનાદની નજીક હોય અને પરિપથનું ટ્યુનિંગ સારું હોતું નથી. આથી, અનુનાદ ઓછો તીક્ષ્ણ હોય તો તે પરિપથની પસંદગીક્ષમતા (તે પરિપથ દ્વારા આવૃત્તિને પસંદ કરવાની ક્ષમતા-Selectivity) ઓછી હોય છે અથવા એથી ઉલ્ટું પણ સત્ય છે. સમીકરણ (7.36) પરથી આપણે જોઈ શકીએ છીએ કે, જો કવોલિટી ફેક્ટર મોટો હોય એટલે કે R નાનો અને/અથવા L મોટો હોય તેવા પરિપથની પસંદગીક્ષમતા વધું છે.

ઉદાહરણ 7.6 220 V, 50 Hz ac સોત સાથે 200 Ω નો અવરોધક અને $15.0 \mu F$ નાં કેપેસીટરને શ્રેષ્ઠીમાં જોડવામાં આવેલ છે. (a) પરિપથમાં પ્રવાહ ગણો, (b) અવરોધક અને કેપેસીટરનાં બે છેડા વચ્ચે વોલ્ટેજ, (rms) શોધો. શું આ વોલ્ટેજનો બૈજિક સરવાળો સોત વોલ્ટેજ કરતાં વધું છે? જો હા, તો આ વિસંગતતાનો ઉકેલ જણાવો.

ઉકેલ

$$R = 200 \Omega, C = 15.0 \mu F = 15.0 \times 10^{-6} F$$

V = 220 V, v = 50 Hz આપેલ છે.

(a) પ્રવાહની ગણતરી કરવા માટે પરિપથનાં ઇમ્પિડન્સની જરૂર પડશે અને તે

$$\begin{aligned} Z &= \sqrt{R^2 + X_C^2} = \sqrt{R^2 + (2\pi v C)^{-2}} \\ &= \sqrt{(200 \Omega)^2 + (2 \times 3.14 \times 50 \times 15.0 \times 10^{-6} F)^{-2}} \\ &= \sqrt{(200 \Omega)^2 + (212.3 \Omega)^2} \\ &= 291.67 \Omega \quad \text{છે.} \end{aligned}$$

માટે પરિપથમાં પ્રવાહ,

$$I = \frac{V}{Z} = \frac{200 \text{ V}}{291.67 \Omega} = 0.7542 \text{ A}$$

(b) અહીં, સમગ્ર પરિપથમાંથી પસાર થતો પ્રવાહ સમાન હોવાથી

$$V_R = IR = (0.754 \text{ A})(200 \Omega) = 150.8 \text{ V}$$

$$V_C = IX_C = (0.754 \text{ A})(212.3 \Omega) = 160.07 \text{ V}$$

બંને વોલ્ટેજ V_R અને V_C નો બૈજિક સરવાળો 310.87 V છે. જે સોત વોલ્ટેજ 220 V કરતાં વધું છે. આ વિસંગતતા કઈ રીતે સમજાવી શકાય? પાઠ્યપુસ્તકમાં તમે શીખ્યી ગયા છો તેમ, અહીં બંને વોલ્ટેજ સમાન કળામાં નથી. માટે તેમનો સરવાળો સામાન્ય સંખ્યાઓની માફક થઈ શકે નહીં. બંને વોલ્ટેજ વચ્ચેનો કળાતફાવત 90° જેટલો છે. માટે પાયથાગોરસનાં પ્રમેય પરથી કુલ વોલ્ટેજ મેળવી શકાય.

$$V_{R+C} = \sqrt{V_R^2 + V_C^2}$$

$$= 219.91 \approx 220 \text{ V}$$

આમ, જો બે વોલ્ટેજ વચ્ચેનો કળા તફાવત યોગ્ય રીતે ગણતરીમાં લેવામાં આવે તો કેપેસીટર અને અવરોધકનાં બે છેડા વચ્ચેનો કુલ વોલ્ટેજ સોત વોલ્ટેજ જેટલો થાય.



7.7 AC પરિપथમાં પાવર : પાવર ફેક્ટર

(POWER IN AC CIRCUIT : THE POWER FACTOR)

આપણે જોયું કે, RLC શ્રેણી પરિપથમાં વોલ્ટેજ $v = v_m \sin \omega t$ વાગુ પડતાં પરિપથમાં વહેતો પ્રવાહ $i = i_m \sin(\omega t + \phi)$ દ્વારા મળે છે.

$$\text{જ્યાં, } i_m = \frac{v_m}{Z} \text{ અને } \phi = \tan^{-1} \left(\frac{X_C - X_L}{R} \right)$$

આથી, સોત દ્વારા પુરો પડાયેલ તાત્કષણિક પાવર

$$\begin{aligned} P &= vi = (v_m \sin \omega t) \times [i_m \sin(\omega t + \phi)] \\ &= \frac{v_m i_m}{2} [\cos \phi - \cos(2\omega t + \phi)] \end{aligned} \quad (7.37)$$

છે. સમીકરણ (7.37)ની જમણી બાજુનાં બે પદોનું સરેરાશ એક પૂર્ણ ચક પર પાવરનું સરેરાશ આપે છે. જે પૈકીનું માત્ર બીજું પદ સમય પર આધારિત છે. જેનું સરેરાશ શૂન્ય થાય છે. ($\cos \phi$ નું ધન અર્ધચક ઘણા અર્ધચકને નાખું કરે છે.) માટે,

$$\begin{aligned} P &= \frac{v_m i_m}{2} \cos \phi = \frac{v_m}{\sqrt{2}} \frac{i_m}{\sqrt{2}} \cos \phi \\ &= VI \cos \phi \end{aligned} \quad [7.38(a)]$$

આ સમીકરણ નીચે મુજબ પણ લખી શકાય.

$$P = I^2 Z \cos \phi \quad [7.38(b)]$$

આમ, વપરાતો (વ્યય પામતો) સરેરાશ પાવર માત્ર વોલ્ટેજ અને પ્રવાહ પર આધારિત નથી પરંતુ તેમની વચ્ચેનાં કળા ખૂણા ફના $\cos \phi$ પર પણ આધારિત છે. રાશિ $\cos \phi$ ને પાવર ફેક્ટર કહે છે. આપણે નીચેના કિસ્સાઓની ચર્ચા કરીએ :

કિસ્સો (i) અવરોધક પરિપથ : જો પરિપથ માત્ર શુદ્ધ અવરોધ R ધરાવતો હોય તો તેને અવરોધક પરિપથ કહે છે. તે કિસ્સામાં $\phi = 0, \cos \phi = 1$ પાવર વ્યય મહત્તમ હોય છે.

કિસ્સો (ii) શુદ્ધ ઈન્ડક્ટિવ અથવા કેપેસીટીવ પરિપથ : જો પરિપથ માત્ર ઈન્ડક્ટર અથવા કેપેસીટર ધરાવતો હોય તો આપણે જાણીએ છીએ કે પ્રવાહ અને વોલ્ટેજ વચ્ચેનો કળા તફાવત $\pi/2$ જેટલો હોય છે માટે $\cos \phi = 0$ અને પરિપથમાંથી પ્રવાહ પસાર થવા છતાંય પાવર વપરાતો (વ્યય પામતો) નથી. આવા પ્રવાહને ઘણીવાર વોટલેસ પ્રવાહ કહે છે.

કિસ્સો (iii) LCR શ્રેણી પરિપથ : LCR શ્રેણી પરિપથમાં થતો પાવર વ્યય સમીકરણ (7.38) મુજબનો હોય છે. જ્યાં, $\phi = \tan^{-1}(X_C - X_L)/R$. તેથી, RL અથવા RC અથવા RCL પરિપથોમાં ϕ અશૂન્ય થશે. આવા કિસ્સામાં પણ પાવર વ્યય તો માત્ર અવરોધકમાં જ થાય છે.

કિસ્સો (iv) LCR પરિપથમાં અનુનાદની સ્થિતિએ વ્યય થતો પાવર : અનુનાદની સ્થિતિએ $X_C - X_L = 0$ અને $\phi = 0$ તેથી $\cos \phi = 1$ અને $P = I^2 Z = I^2 R$. એટલે કે અનુનાદ સ્થિતિએ પરિપથમાં (R દ્વારા) મહત્તમ પાવર વ્યય થતો હોય છે.

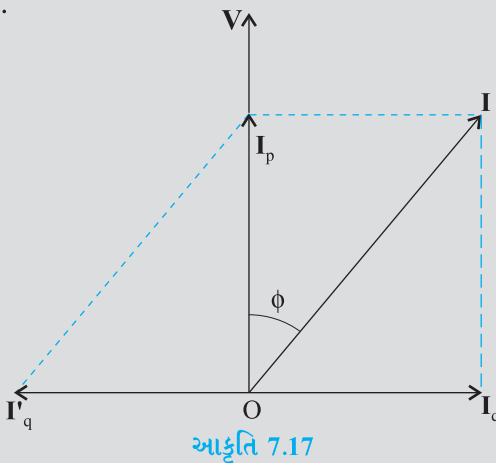
ઉદાહરણ 7.7 (a) વિદ્યુત પાવરનાં સ્થાનાંતર (એકથી બીજા સ્થાને લઈ જવા) માટે ઉપયોગમાં લેવાતાં પરિપથમાં પાવર ફેક્ટરનું ઓછું મૂલ્ય, ટ્રાન્સમીશનમાં મોટો પાવર વ્યય સૂચવે છે. સમજાવો. (b) પરિપથમાં યોગ્ય કેપેસીટન્સવાળા કેપેસીટરનો ઉપયોગ કરીને ઘણીવાર પાવર ફેક્ટરમાં સુધારો કરી શકાય છે. સમજાવો.

પ્રત્યાવર્તી પ્રવાહ

ઉકેલ (a) આપણે જાણીએ છીએ કે, $P = I V \cos\phi$. જ્યાં, $\cos\phi$ પાવર ફેક્ટર છે. આપેલ વોલ્ટેજ દિશાનું (આપેલ) પાવર મોકલવા માટે, જો પાવર ફેક્ટર ઓછો હોય તો તેને અનુરૂપ પ્રવાહમાં આપણે વધારો કરવો જોઈએ. પરંતુ આમ કરતાં ટ્રાન્સમિશન દરમ્યાન પાવર વય ($I^2 R$) ખૂબ વધી જાય છે.

(b) ધારોકે પરિપથમાં પ્રવાહ વોલ્ટેજ કરતાં કળામાં ϕ જેટલો પાછળ છે તો પાવર ફેક્ટર $\cos\phi = R/Z$.

Zનું મૂલ્ય લગભગ R જેટલું બનાવીને આપણે પાવર ફેક્ટરમાં (લગભગ 1 બને તેમ) સુધારો કરી શકીએ છીએ. ફેઝ ડાયાગ્રામ (આફ્ટિ 7.17)ની મદદથી આપણે સમજાડે કે આ કેવી રીતે મેળવી શકાય.



આફ્ટિ 7.17

અહીં I ને બે ઘટકોમાં વિભાજન કરીએ. લાગુ પાડેલ વોલ્ટેજ V ની દિશામાં I_p અને લાગુ પાડેલ વોલ્ટેજને લંબ દિશામાં I_q , પરિચ્છેદ 7.7માં તમે શીખ્યા તે મુજબ I_q વોટલેસ ઘટક કહેવાય છે. તેથી પ્રવાહનાં આ ઘટકને અનુરૂપ પાવર વય થતો નથી. I_p પાવર ઘટક તરીકે ઓળખાય છે, કારણ કે તે વોલ્ટેજ સાથે સમાન કળામાં છે અને તેનાં અનુરૂપ પરિપથમાં પાવર વય થાય છે.

આ વિશ્લેષણથી તે સ્પષ્ટ છે કે, જો આપણે પાવર ફેક્ટર સુધારવા માગતા હોઈએ તો, કળામાં પાછળ રહેલા વોટલેસ પ્રવાહ I_q ને તેનાં જેટલો જ અને કળામાં આગળ રહેતાં વોટલેસ પ્રવાહ I'_q વે તે તટસ્થ કરવો પડે. આમ કરવા માટે યોગ્ય મૂલ્યનાં કેપેસિટેન્સ સમાંતર જોડવો પડે જેથી I_q અને I'_q એકબીજાની અસર નાબૂદ કરે તથા પાવર P અસરકારક રીતે $I_p V$ જેટલો થાય.

ઉદાહરણ 7.8 283 V મહત્તમ મૂલ્ય અને 50 Hz આવૃત્તિવાળો sine પ્રકારનો વોલ્ટેજ LCR શ્રેણી પરિપથને લાગુ પાડેલ છે. જેમાં $R = 3\Omega$, $L = 25.48$ mH અને $C = 796 \mu F$ છે. (a) પરિપથનો ઈન્ફિડન્સ (b) સોત વોલ્ટેજ અને પ્રવાહ વચ્ચેનો કળા તફાવત (c) પરિપથમાં વય થતો પાવર અને (d) પાવર ફેક્ટર શોધો.

ઉકેલ પરિપથનો ઈન્ફિડન્સ શોધવા પ્રથમ આપણે X_L અને X_C ની ગણતરી કરીશું.

$$(a) X_L = 2\pi VL \\ = 2 \times 3.14 \times 50 \times 25.48 \times 10^{-3} \Omega = 8 \Omega$$

$$X_C = \frac{1}{2\pi v C}$$

ઉદાહરણ 7.7

ઉદાહરણ 7.8



$$= \frac{1}{2 \times 3.14 \times 50 \times 796 \times 10^{-6}} = 4 \Omega$$

તેથી,

$$Z = \sqrt{R^2 + (X_L + X_C)^2} = \sqrt{3^2 + (8 - 4)^2}$$

$$= 5 \Omega$$

$$(b) કળા તફાવત \phi = \tan^{-1} \left(\frac{X_C - X_L}{R} \right)$$

$$= \tan^{-1} \left(\frac{4 - 8}{3} \right) = -53.1^\circ$$

ϕ ઝાણ છે, તેથી સોતનાં બે છેડા વય્યેનાં વોટેજ કરતાં પરિપથનો પ્રવાહ પાછળ છે.

(c) પરિપથમાં વ્યય થતો પાવર

$$P = I^2 R$$

$$\text{હવે, } I = \frac{i_m}{\sqrt{2}} = \frac{1}{\sqrt{2}} \left(\frac{283}{5} \right) = 40 \text{ A}$$

$$\text{તેથી, } P = (40\text{A})^2 \times 3 \Omega = 4800 \text{ W}$$

$$(d) \text{ પાવર ફેક્ટર} = \cos\phi = \cos(-53.1^\circ) = 0.6$$

ઉદાહરણ 7.9 ધારો કે ઉપરનાં ઉદાહરણમાં સોતની આવૃત્તિ બદલી શકાય છે. તો (a) અનુનાદની સ્થિતિએ સોતની આવૃત્તિ કેટલી હશે? (b) અનુનાદની સ્થિતિએ ઈમ્પ્રેન્સ, પ્રવાહ અને વ્યય થતા પાવરની ગણતરી કરો.

ઉકેલ

(a) અનુનાદ થાય ત્યારે આવૃત્તિ,

$$\omega_0 = \frac{1}{\sqrt{LC}} = \frac{1}{\sqrt{25.48 \times 10^{-3} \times 796 \times 10^{-6}}} \\ = 222.1 \text{ rad/s}$$

$$v_r = \frac{\omega_0}{2\pi} = \frac{222.1}{2 \times 3.14} = 35.4 \text{ Hz}$$

(b) અનુનાદની સ્થિતિએ ઈમ્પ્રેન્સ Z અવરોધ R જેટલો હોય છે.

$$Z = R = 3 \Omega$$

અનુનાદ વખતે rms પ્રવાહ

$$= \frac{V}{Z} = \frac{V}{R} = \left(\frac{283}{\sqrt{2}} \right) \frac{1}{3} = 66.7 \text{ A}$$

અનુનાદની સ્થિતિએ વ્યય થતો પાવર

$$P = I^2 \times R = (66.7)^2 \times 3 = 13.35 \text{ kW}$$

અહીં તમે જોઈ શકો છો કે ઉદાહરણ 7.8માં વ્યય થતાં પાવર કરતાં આ કિર્સામાં પાવર વ્યય વધુ છે.

ઉદાહરણ 7.10 કોઈ એરપોર્ટ પર સુરક્ષાનાં કારણોસર મેટલ ડિટેક્ટરના દરવાજામાંથી એક વ્યક્તિ પસાર થાય છે. જો તે/તેણીના પાસે કોઈ ધાતુની બનેલી કોઈ વસ્તુ હોય તો મેટલ ડિટેક્ટર ધ્વનિ ઉત્સર્જિત કરે છે. આ ડિટેક્ટર કયા સિદ્ધાંત પર કાર્ય કરે છે ?

ઉકેલ મેટલ ડિટેક્ટર એસી પરિપથમાં થતાં અનુનાદનાં સિદ્ધાંત પર કાર્ય કરે છે. જ્યારે તમે મેટલ ડિટેક્ટરના દરવાજામાંથી પસાર થાવ છો ત્યારે વાસ્તવમાં તમે ઘણાં આંટા ધરાવતી કોઈલ (Coil-gંચળા)માંથી પસાર થાવ છો. ગંચળાને ટ્યુન કરેલ કેપેસીટર સાથે જોડેલ હોય છે, જેથી પરિપથ અનુનાદની સ્થિતિએ હોય છે. જ્યારે તમે તમારા બિસ્સામાં ધાતુના ટુકડા સાથે પસાર થાવ છો ત્યારે પરિપથનો ઈમ્પિન્સ બદલાય છે. પરિણામે પરિપથનાં પ્રવાહમાં નોંધપાત્ર ફેરફાર થાય છે. પ્રવાહમાં થતો આ ફેરફાર પરખાય (Detected) છે અને ઇલેક્ટ્રોનિક પરિપથ એલાર્મ તરીકે ધ્વનિ ઉત્પન્ન કરે છે.

7.8 LC દોલનો (LC OSCILLATIONS)

આપણે જાણીએ છીએ કે કેપેસીટર અને ઇન્ડક્ટર અનુક્રમે વિદ્યુતીય અને ચુંબકીય ઊર્જાનો સંગ્રહ કરી શકે છે. જ્યારે એક કેપેસીટર (પ્રારંભમાં વિદ્યુતભારિત)ને ઇન્ડક્ટર સાથે જોડવામાં આવે છે ત્યારે કેપેસીટર પર રહેલા વિદ્યુતભાર અને પરિપથમાં પ્રવાહ વિદ્યુતીય દોલનોની ઘટના નિપાત્રવે છે જે યાંત્રિક તંત્રોમાં થતાં દોલનો જેવા જ હોય છે. (ધોરણ XI, પ્રકરણ-14)

ધારો કે કેપેસીટર પર q_m જેટલો વિદ્યુતભાર ($t = 0$ સમયે) છે અને તેને આફૃતિ 7.18 મુજબ ઇન્ડક્ટર સાથે જોડવામાં આવે છે.

જે ક્ષણે પરિપથ પૂર્ણ થાય છે તે ક્ષણો કેપેસીટર પરનો વિદ્યુતભાર ઘટવાની શરૂઆત થાય છે. પરિણામે પરિપથમાં વધતો પ્રવાહ ઉત્પન્ન થાય છે. ધારોકે કોઈ એક t સમયે પરિપથમાં વિદ્યુતભાર q અને પ્રવાહ i છે. di/dt ધન હોવાથી ઇન્ડક્ટર L માં પ્રેરિત emf નું ધ્રુવત્વ (Polarity) આફૃતિમાં દર્શાવ્યા મુજબની હોય છે, એટલે કે, $v_b < v_a$. કિર્યોફિનાં બંધ ગાળાનાં નિયમ અનુસાર,

$$\frac{q}{C} - L \frac{di}{dt} = 0 \quad (7.39)$$

પ્રસ્તુત કિસ્સામાં, $i = -(dq/dt)$ (કારણ કે, જેમ પ્રવાહ વધે છે તેમ પ્રવાહ વધે છે.) માટે સમીકરણ (7.39) નીચે મુજબ થશે.

$$\frac{d^2q}{dt^2} + \frac{1}{LC} q = 0 \quad (7.40)$$

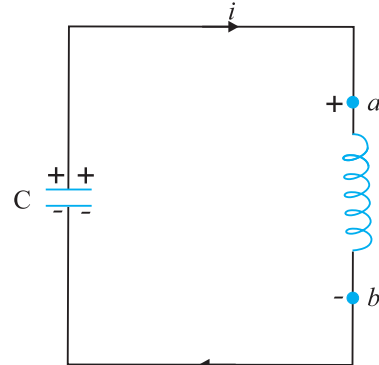
આ સમીકરણ સરળ આવર્ત ગતિનાં સમીકરણ $\frac{d^2x}{dt^2} + \omega_0^2 x = 0$ જેવું સ્વરૂપ ધરાવે છે. આથી, વિદ્યુતભાર જે પ્રાફૃતિક આવૃત્તિથી દોલનો કરે છે,

$$\text{તે આવૃત્તિ } \omega_0 = \frac{1}{\sqrt{LC}} \quad (7.41)$$

છે અને તે સમય સાથે સાઈન વિધેય અનુસાર નીચેના સૂત્ર અનુસાર બદલાય છે.

$$q = q_m \cos(\omega_0 t + \phi) \quad (7.42)$$

જ્યાં, q_m એ q નું મહત્વમાં મૂલ્ય અને ϕ કળા અચળાંક છે. $t = 0$ સમયે $q = q_m$ હોવાથી $\cos\phi = 1$ અથવા $\phi = 0$. તેથી પ્રસ્તુત કિસ્સામાં,



આફૃતિ 7.18 કોઈ એક ક્ષણો, વિદ્યુતપ્રવાહ વધે છે તેથી ઇન્ડક્ટરમાં પ્રેરિત emf નું ધ્રુવત્વ (Polarity) આફૃતિમાં દર્શાવ્યા મુજબનું છે.



ભૌતિકવિજ્ઞાન

$$q = q_m \cos(\omega_0 t) \quad (7.43)$$

પ્રવાહ $i = -\frac{dq}{dt}$ નીચે મુજબ આપી શકાય છે.

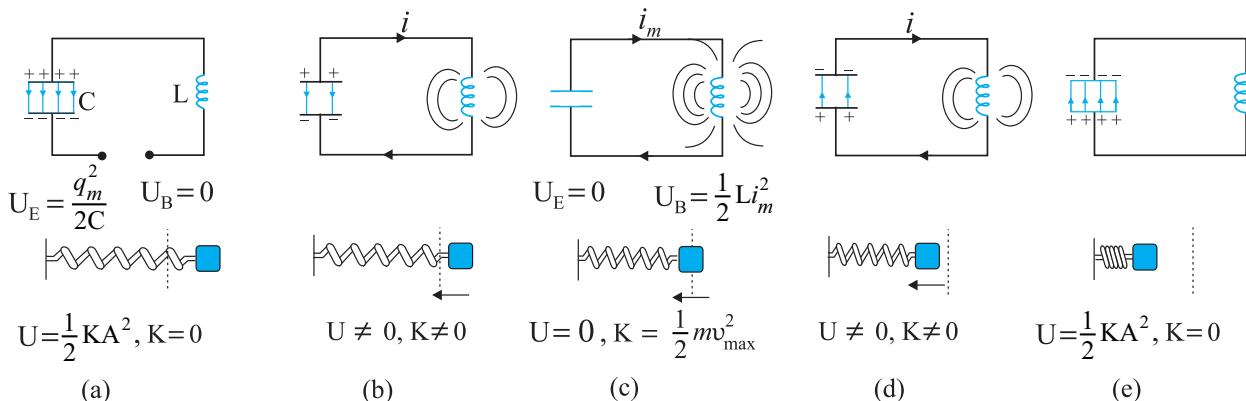
$$I = i_m \sin(\omega_0 t) \quad (7.44)$$

$$\text{જ્યા}, i_m = \omega_0 q_m$$

આ પરિપथમાં દોલન કેવી રીતે થાય છે તે દશ્યમાન કરવાનો હવે આપણે પ્રયત્ન કરીએ.

આકૃતિ 7.19(a)માં દર્શાવ્યા મુજબ પ્રારંભિક વિદ્યુતભાર q_m વાળા કેપેસીટર સાથે આદર્શ ઈન્ડક્ટર જોડેલ છે. વિદ્યુતભારિત કેપેસીટરમાં સંગ્રહિત વિદ્યુતઊર્જા $U_E = \frac{1}{2} \frac{q^2}{C}$ છે. પરિપથમાં પ્રવાહ વહેતો ન હોવાથી ઈન્ડક્ટરમાં ઊર્જા શૂન્ય હોય છે. આમ,

$$\text{LC પરિપથની કુલ ઊર્જા } U = U_E = \frac{1}{2} \frac{q^2}{C}$$



આકૃતિ 7.19 LC પરિપથમાં થતા દોલનો સ્થિરગાળા છેદે લગાવેલ બ્લોકના દોલનો જેવાં છે.

આકૃતિમાં દોલનનું અર્ધચક દર્શાવેલ છે.

$t = 0$ સમયે [આકૃતિ 7.19(b)] કળ બંધ કરતાં જ કેપેસીટર વિદ્યુતભારિત (ડિસ્ચાર્જ) થવાની શરૂઆત થાય છે. જેમ પરિપથમાં પ્રવાહ વધવા લાગે છે, તેમ તે ઈન્ડક્ટરમાં ચુંબકીયક્ષેત્ર પ્રસ્થાપિત કરે છે અને તેથી ઈન્ડક્ટરમાં કેટલીક ઊર્જા ચુંબકીય ઊર્જા $U_B = 1/2 L i^2$ સ્વરૂપે સંગ્રહિત થાય છે. આકૃતિ 7.19(c)માં દર્શાવ્યા મુજબ જ્યારે ($t = T/4$ સમયે) પ્રવાહ તેનાં મહત્તમ મૂલ્ય i_m પર પહોંચે છે ત્યારે બધી જ ઊર્જા, ચુંબકીય ક્ષેત્રમાં $U_B = 1/2 L i_m^2$ સંગ્રહ પામે છે અને તે તમે સરળતાથી ચકસી શકો છો કે, આ મહત્તમ વિદ્યુતઊર્જા અને મહત્તમ ચુંબકીયઊર્જા સરખી હોય છે. હવે કેપેસીટર પર વીજભાર હોતો નથી અને તેથી તેમાં કોઈ ઊર્જા હોતી નથી. આકૃતિ 7.19(d)માં દર્શાવ્યા મુજબ, હવે પ્રવાહ કેપેસીટરને વિદ્યુતભારિત કરવાનું શરૂ કરે છે. આ પ્રક્રિયા કેપેસીટર સંપૂર્ણ વિદ્યુતભારિત થાય ($t = T/2$ સમયે) [આકૃતિ 7.19(e)] ત્યાં સુધી સતત ચાલુ રહે છે. પરંતુ વિદ્યુતભારોનું ધ્રુવત્વ (Polarity) આકૃતિ 7.19(a)ની પ્રારંભિક સ્થિતિ કરતાં વિરુદ્ધ હોય છે. અહીં, વર્ણવેલ સમગ્ર પ્રક્રિયા જ્યાં સુધી તંત્ર તેની મૂળ સ્થિતિમાં પાછું આવે ત્યાં સુધી તેની જાતે જ પુનરાવર્તિત થશે. આમ, તંત્રમાં રહેલી ઊર્જા કેપેસીટર અને ઈન્ડક્ટર વચ્ચે દોલનો કરે છે.

પ્રત્યાવર્તી પ્રવાહ

LC દોલનો સ્થિરગના છેડ જોડેલ બ્લોકનાં યાંત્રિક દોલનો જેવાં જ છે. આકૃતિ 7.19માં દરેક આકૃતિમાં નીચેનો ભાગ યાંત્રિકતંત્રની (સ્થિરગને જોડેલ બ્લોક) અનુરૂપ સ્થિતિ દર્શાવે છે. અગાઉ નોંધું તેમ કોણીય આવૃત્તિ ω_0 સાથે દોલન કરતાં m દળનાં બ્લોકનું સમીકરણ

$$\frac{d^2x}{dt^2} + \omega_0^2 x = 0 \quad \text{છે.}$$

અહીં, $\omega_0 = \sqrt{k/m}$ અને k સ્થિરગનો બળ અચળાંક છે. તેથી x, q ને અનુરૂપ છે. યાંત્રિકતંત્રનાં કિસ્સામાં, $F = ma = m(dv/dt) = m(d^2x/dt^2)$. વિદ્યુતીય તંત્ર માટે $E = -L(di/dt) = -L(d^2q/dt^2)$. આ બે સમીકરણોને સરખાવતાં આપણે જોઈ શકીએ છીએ કે, L દળ m સાથે સામ્યતા ધરાવે છે. પ્રવાહમાં થતા ફેરફાર માટે અવરોધનું માપ L છે. LC પરિપથનાં કિસ્સામાં $\omega_0 = 1/\sqrt{LC}$ અને સ્થિર જોડેલ દળ માટે $\omega_0 = \sqrt{k/m}$. તેથી $1/C, k$ સાથે સામ્યતા ધરાવે છે. અચળાંક $k (= F/x)$ એકમ સ્થાનાંતર માટે જરૂરી (બાબ્ધ) બળ સૂચવે છે. જ્યારે $1/C (= V/q)$ એકમ વિદ્યુતભારને પ્રસ્થાપિત કરવા માટેનો જરૂરી વિદ્યુત સ્થિતિમાનનો તફાવત સૂચવે છે. કોષ્ટક 7.1 યાંત્રિક રાશિઓ અને વિદ્યુત રાશિઓ વચ્ચેની સરખામણી દર્શાવે છે.

કોષ્ટક 7.1 યાંત્રિક રાશિઓ અને વિદ્યુતીય રાશિઓ વચ્ચેની સરખામણી

યાંત્રિક તંત્ર	વિદ્યુતીય તંત્ર
m	ઇન્ડક્ટન્સ L
બળ અચળાંક k	કેપેસિટન્સનો વ્યસ્ત 1/C
સ્થાનાંતર x	વીજભાર q
વેગ $v = dx/dt$	પ્રવાહ $I = dq/dt$
યાંત્રિક ઊર્જા	વિદ્યુત ચુંબકીય ઊર્જા
$E = \frac{1}{2}kx^2 + \frac{1}{2}mv^2$	$E = \frac{1}{2} \frac{q^2}{C} + \frac{1}{2} Li^2$

નોંધો કે, LC દોલનોની ઉપરોક્ત ચર્ચા બે કારણોસર વાસ્તવિક નથી.

- (i) દરેક ઇન્ડક્ટર કેટલોક અવરોધ ધરાવે છે. આ અવરોધને કારણે વિદ્યુતભાર અને પરિપથના પ્રવાહ પર અવમંદની અસર નીપજે છે અને છેવટે દોલનો નાશ પામે છે.
- (ii) જો અવરોધ શૂન્ય હોય તો પડી તંત્રની કુલ ઊર્જા અચળ રહેતી નથી, તે તંત્રમાંથી વિદ્યુત ચુંબકીય તરંગો સ્વરૂપે ઉત્સર્જિત થાય છે. (હવે પણીનાં પ્રકરણમાં તેની ચર્ચા છે.) હકીકતમાં રેઝિયો અને ટીવી ટ્રાન્સમીટરો આ વિકિરણ પર આધારિત હોય છે.

બે અલગ-અલગ ઘટના, સમાન ગાણિતીક પ્રક્રિયા

ધોરણ XI, ભૌતિકવિજ્ઞાન પાઠ્યપુસ્તક પરિચ્છેદ 14.10માં વર્ણવેલ બળપ્રેરિત અવમંદિત દોલનોની ગાણિતીક સરખામણી, ac વોલ્ટેજ લગાડેલા LCR પરિપથની ગાણિતીક પ્રક્રિયા સાથે કરવાની તમને ગમશે. અહીં, સમીકરણ (7.28), ધોરણ XI પાઠ્યપુસ્તકનાં સમીકરણ [14.37(b)]માં વપરામેલ સંજ્ઞા અને પ્રાચલો જુદા જુદા હોવા છતાં તેના જેવું છે. માટે આપણે આ બંને સ્થિતિ માટે રાશિઓની સમતુલ્યતાની સૂચિ તૈયાર કરીએ.

પ્રણોદિત દોલનો

$$m \frac{d^2x}{dt^2} + b \frac{dx}{dt} + kx = F \cos \omega_d t$$

સ્થાનાંતર, x

સમય, t

દળ, m

અવમંદન અચળાંક, b

સ્પ્રિંગ અચળાંક, k

ચાલક આવૃત્તિ, ω_d

દોલનોની પ્રાકૃતિક આવૃત્તિ, ω

પ્રણોદિત દોલનોનો કંપવિસ્તાર, A

ચાલક બળનો કંપવિસ્તાર, F_0

સંચાલિત LCR પરિપથ

$$L \frac{d^2q}{dt^2} + R \frac{dq}{dt} + \frac{q}{C} = v_m \sin \omega t$$

ક્રેપેસીટર પરનો વીજભાર, q

સમય, t

આત્મપ્રેરકત્વ, L

અવરોધ, R

ક્રેપેસીટન્સનું વસ્ત, $1/C$

ચાલક આવૃત્તિ, ω

LCR પરિપથની પ્રાકૃતિક આવૃત્તિ, ω_0

સંગ્રહ પામતો મહત્તમ વિદ્યુતભાર, q_m

લાગુ પાડેલ વોલ્ટેજનો કંપવિસ્તાર, v_m

તમારે તે અવશ્ય નોંધવું જોઈએ કે, સ્થાનાંતર (x)ને અનુરૂપ વીજભાર (q), કંપવિસ્તાર A (મહત્તમ સ્થાનાંતર)ને અનુરૂપ સંગ્રહિત મહત્તમ વીજભાર q_m થશે. ધોરણ XIનું સમીકરણ [14.39(a)] દોલનોનો કંપવિસ્તાર અન્ય પ્રાચલોના પદમાં આપે છે જેને સગવડ ખાતર અહીં ફરી રજૂ કરેલ છે.

$$A = \left(\frac{F_0}{\{m^2(\omega^2 - \omega_d^2)^2 + \omega_d^2 b^2\}^{1/2}} \right)$$

ઉપરોક્ત સમીકરણમાં દરેક પ્રાચલોને અનુરૂપ વિદ્યુતીય રાશિઓ મૂકીએ અને જોઈએ શું થાય છે? $X_L = \omega L$, $X_C = 1/\omega C$ અને $\omega^2 = 1/LC$ નો ઉપયોગ કરીને L , C , ω અને ω_0 નો લોપ કરો. જ્યારે તમે સમીકરણ (7.33) અને (7.34)નો ઉપયોગ કરશો તો જોઈ શકશો કે તેમાં સંપૂર્ણ સાધ્યતા છે.

ભૌતિકવિજ્ઞાનમાં તમને આવી ઘણી પરિસ્થિતિઓ જોવા મળશે કે, જેમાં જુદી જુદી ઘટનાઓ સમાન ગાણિતીક સમીકરણો વડે રજૂ કરવામાં આવે છે. આ પૈકીની કોઈએક સાથે તમે કામ પાડેલું હોય, તો તમે અન્ય પરિસ્થિતિઓ માટે અનુરૂપ રાશિઓની ફેરબદલી કરીને તમે નવા સંદર્ભમાં પરિણામોનું અર્થધટન કરી શકો છો. તમે ભૌતિકવિજ્ઞાનમાં જુદા જુદા ક્ષેત્રોમાંથી આવી જ સમાન પરિસ્થિતિઓ શોધવાનો પ્રયત્ન કરો તેમ અમે સૂચવીએ છીએ. અલબંત, તમે તફાવતથી પણ પરિચિત હોવા જોઈએ.

ઉદાહરણ 7.11 દર્શાવો કે LC પરિપथના મુક્ત દોલનમાં કેપેસીટર અને ઇન્ડક્ટરમાં કોઈ પણ સમયે સંગ્રહિત ઊર્જાઓનો સરવાળો અચળ હોય છે.

ઉકેલ ધારોકે કેપેસીટર પર પ્રારંભિક વિદ્યુતભાર q_0 છે. સંપૂર્ણ ચાર્જ કેપેસીટર સાથે L ઇન્ડક્ટન્સ ધરાવતા ઇન્ડક્ટરને જોડેલ છે. પરિચ્છેદ 7.8માં તમે અભ્યાસ કર્યો તે મુજબ આ LC પરિપથ આવૃત્તિ

$$\omega = 2\pi v = \frac{1}{\sqrt{LC}} \text{ થી દોલનો ચાલુ રાખશે.}$$

કોઈ એક t કષેણે કેપેસીટર પરનો વિદ્યુતભાર q અને પરિપથનો પ્રવાહ i નીચે મુજબ અપાય છે.

$$q(t) = q_0 \cos \omega t$$

$$i(t) = -q_0 \omega \sin \omega t$$

t સમયે કેપેસીટરમાં સંગ્રહિત ઊર્જા

$$U_E = \frac{1}{2} CV^2 = \frac{1}{2} \frac{q^2}{C} = \frac{1}{2} \frac{q_0^2}{C} \cos^2(\omega t)$$

t સમયે ઇન્ડક્ટરમાં સંગ્રહિત ઊર્જા

$$U_M = \frac{1}{2} Li^2$$

$$= \frac{1}{2} L q_0^2 \omega^2 \sin^2(\omega t)$$

$$= \frac{q_0^2}{2C} \sin^2(\omega t) \quad (\because \omega = 1/\sqrt{LC})$$

ઊર્જાઓનો સરવાળો

$$U_E + U_M = \frac{q_0^2}{2C} [\cos^2 \omega t + \sin^2 \omega t]$$

$$= \frac{q_0^2}{2C}$$

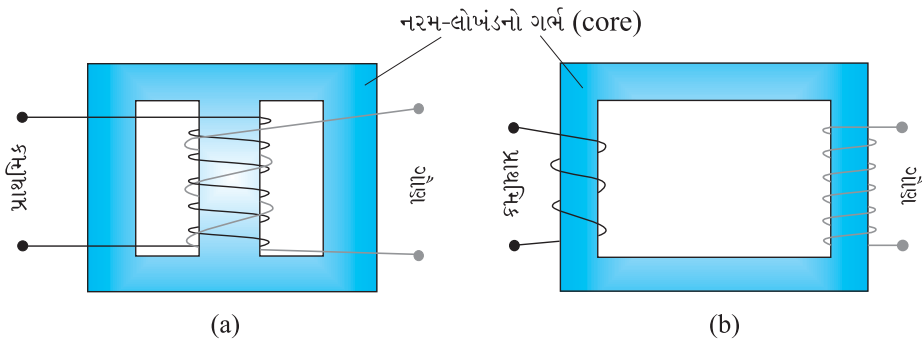
q_0 અને C, સમયથી સ્વતંત્ર છે તેથી સમય સાથે આ સરવાળો (કુલ ઊર્જા) અચળ છે. નોંધો કે તે કેપેસીટરની પ્રારંભિક ઊર્જા જેટલી છે. કેમ આવું ? વિચારો !

ઉદાહરણ 7.11

7.9 ટ્રાન્સફોર્મર્સ (TRANSFORMERS)

ઘડાં (ઉદ્દેશો માટે, એસી વોલ્ટેજને એક મૂલ્યથી મોટા કે નાના વોલ્ટેજ મૂલ્યોમાં પરિવર્તન (અથવા રૂપાંતરિત) કરવું આવશ્યક બને છે. અન્યોન્ય પ્રેરણનાં સિદ્ધાંતનો ઉપયોગ કરી આવી રૂચના બનાવી શકાય છે, જેને ટ્રાન્સફોર્મર કહે છે.

ટ્રાન્સફોર્મરમાં એકબીજાથી અલગ કરેલ બે કોઈલ (ગૂંચળા)નું જોડું હોય છે. તેમને નરમ લોખંડનાં ગર્ભ (Core) પર આકૃતિ 7.20(a) મુજબ એકબીજાથી ઉપર અથવા આકૃતિ 7.20(b) મુજબ ગર્ભનાં બે અલગ-અલગ ભાગો પર વિંટાળેલા હોય છે. તે પૈકીની એક કોઈલને પ્રાથમિક ગૂંચળું (પ્રાયમરી કોઈલ) કહે છે, તેમાં આંટા N_p હોય છે. બીજી કોઈલને ગૌણ ગૂંચળું (સેકન્ડરી કોઈલ) કહે છે તેમાં આંટા N_s હોય છે. ઘણીવખત ટ્રાન્સફોર્મર માટે પ્રાથમિક ગૂંચળનું ઇનપુટ કોઈલ અને ગૌણ ગૂંચળનું આઉટપુટ કોઈલ હોય છે.



આકૃતિ 7.20 ટ્રાન્સફોર્મરમાં પ્રાથમિક અને ગૌણ ગુંચળાની વીટાળવાની બે ગોઠવણી (a) એકબીજાની ઉપર બે ગુંચળા (b) ગર્બના જુદા ભાગ પર બે ગુંચળાં

જ્યારે પ્રાથમિક ગુંચળાને પ્રત્યાવર્તી વોલ્ટેજ લાગુ પાડવામાં આવે છે ત્યારે પરિણામી પ્રવાહ પ્રત્યાવર્તી ચુંબકીય ફલક્સ ઉત્પન્ન કરે છે જે ગૌણ ગુંચળા સાથે સંકળાય છે અને તેમાં emf પ્રેરિત કરે છે. આ emf નાં મૂલ્યનો આધાર ગૌણ ગુંચળાના આંટાની સંખ્યા પર હોય છે. આપણે એક આર્દ્ધ ટ્રાન્સફોર્મર વિચારીશું કે જેમાં પ્રાથમિક ગુંચળાને અવગણી શકાય તેટલો અવરોધ છે અને ગર્બમાં રહેલ બધું જ ચુંબકીય ફલક્સ પ્રાથમિક અને ગૌણ બંનેનાં આંટા (વાઈન્ડિંગ) સાથે સંકળાયેલ છે. જ્યારે પ્રાથમિક v_p વોલ્ટેજ લાગુ પાડીએ ત્યારે પ્રવાહને કારણે t સમયે તેના પ્રત્યેક આંટા સાથે સંકળાયેલ ફલક્સ ફોલ્યે તેમ ધારો.

N_s આંટા ધરાવતા ગૌણ ગુંચળામાં પ્રેરિત emf અથવા વોલ્ટેજ

$$\epsilon_s = -N_s \frac{d\phi}{dt} \quad (7.45)$$

છે. પ્રત્યાવર્તી ફલક્સને કારણે પ્રાથમિક ગુંચળામાં પડા પ્રેરિત emf ઉદ્ભબવે છે જેને back emf કહે છે. તે નીચે મુજબ છે.

$$\epsilon_p = -N_p \frac{d\phi}{dt} \quad (7.46)$$

પરંતુ $\epsilon_p = v_p$. જો આવું ન હોય તો પ્રાયમરીનાં શૂન્ય અવરોધને કારણે (ધારણા મુજબ) તેમાં પ્રવાહ અનંત થઈ જાય. જો ગૌણ ગુંચળાનું એક ખૂલ્લો પરિપથ (Open Circuit) હોય અથવા તેમાંથી મેળવતો પ્રવાહ ઓછો હોય તો પર્યાપ્ત સંનિકટતામાં $\epsilon_s = v_s$ લઈ શકાય. જ્યાં, v_s ગૌણ ગુંચળાના બે છેડા વચ્ચેનો વોલ્ટેજ છે. આથી, સમીકરણ (7.45) અને (7.46) નીચે મુજબ લખી શકાય.

$$v_s = -N_s \frac{d\phi}{dt} \quad [7.45(a)]$$

$$v_p = -N_p \frac{d\phi}{dt} \quad [7.46(a)]$$

સમીકરણ (7.45(a)] અને (7.46(a)] પરથી,

$$\frac{v_s}{v_p} = \frac{N_s}{N_p} \quad (7.47)$$

પ્રત્યાવર્તી પ્રવાહ

નોંધો કે ઉપરોક્ત સંબંધ ત્રણ ધારણાઓનો ઉપયોગ કરીને મેળવેલ છે. (i) પ્રાથમિક ગુંચળામાં અને તેનો અવરોધ નાના છે. (ii) પ્રાથમિક અને ગૌણ બંને ગુંચળામાં આંટા દીઠ સમાન ફ્લક્સ સંકળાય છે, કારણ કે ખૂબ જ ઓછું ફ્લક્સ ગર્ભમાંથી છટકી જાય છે અને (iii) સેકન્ડરી પ્રવાહનું મૂલ્ય ઓછું છે.

જો ટ્રાન્સફોર્મર 100% ક્ષમતાવાળું (ઉર્જાનો વ્યય થતો નથી) ધારેલ હોય તો ઈનપુટ પાવર અને આઉટપુટ પાવર સરખો હોય છે, અને $p = i_s v_s$ હોવાથી

$$\frac{i_p}{i_s} v_p = i_s v_s \quad (7.48)$$

થોડી ઉર્જાનો હંમેશા વ્યય થતો જ હોય છે, છતાંથે સારી રીતે ડિઝાઇન કરેલા ટ્રાન્સફોર્મરની ક્ષમતા 95% કરતાં વધુ હોય છે. તેથી આ એક સારી સન્નિકટતા છે. (7.47) અને (7.48) સમીકરણોને સંયોજિત કરતાં

$$\frac{i_p}{i_s} = \frac{v_s}{v_p} = \frac{N_s}{N_p} \quad (7.49)$$

ac સોતની આવૃત્તિ જેટલી જ આવૃત્તિથી i અને v બંને દોલનો કરે છે તેથી સમીકરણ (7.49) અનુરૂપ રાશિઓના કંપવિસ્તાર અથવા rms મૂલ્યોનો ગુણોત્તર પણ આપે છે.

હવે આપણે જોઈ શકીશું કે, વોલ્ટેજ અને પ્રવાહ પર ટ્રાન્સફોર્મર કેવી રીતે અસર કરે છે. આપણી પાસે

$$V_s = \left(\frac{N_s}{N_p} \right) V_p \quad \text{અને} \quad I_s = \left(\frac{N_p}{N_s} \right) I_p \quad (7.50)$$

છે. એટલે કે જો, પ્રાયમરી કરતાં સેકન્ડરી કોઈલમાં આંટાની સંખ્યા વધુ હોય ($N_s > N_p$) તો વોલ્ટેજ સ્ટેપઅપ થશે (વધશે) ($V_s > V_p$). આ પ્રકારની ગોઠવણીને સ્ટેપઅપ ટ્રાન્સફોર્મર કહે છે. જો કે, આવી ગોઠવણીમાં પ્રાયમરી કરતાં સેકન્ડરીમાં પ્રવાહ ઓછો હોય છે ($N_p / N_s < 1$ અને $I_s > I_p$). ઉદાહરણ તરીકે, પ્રાથમિક ગુંચળામાં 100 આંટા અને ગૌણ ગુંચળામાં 200 આંટા છે. તો $N_s / N_p = 2$ અને $N_p / N_s = 1/2$. આમ, 10Aવાળા 220Vનો ઈનપુટનું 5Aવાળા 440Vનાં આઉટપુટમાં સ્ટેપઅપ થશે.

જો પ્રાયમરી કરતાં સેકન્ડરીમાં આંટાની સંખ્યા ઓછી હોય ($N_s < N_p$) તે સ્ટેપડાઉન ટ્રાન્સફોર્મર થશે. આ ડિસ્સામાં $V_s < V_p$ અને $I_s > I_p$ એટલે કે, વોલ્ટેજ સ્ટેપડાઉન થશે અથવા ઘટશે અને પ્રવાહ વધશે.

ઉપર મેળવેલા સમીકરણો આદર્શ ટ્રાન્સફોર્મર (કોઈ પણ ઉર્જાનો વ્યય ન થતો હોય)ને જ લાગુ પડે છે. પરંતુ વાસ્તવિક ટ્રાન્સફોર્મરમાં નીચે મુજબનાં કારણોસર અલ્યમાત્રામાં ઉર્જાનો વ્યય થાય છે.

- (i) ફ્લક્સ લીકેજ : ગર્ભની નબળી ડિઝાઇન અથવા ગર્ભમાં હવાનું મધ્યાંતર (Air Gaps)ને કારણે પ્રાયમરીનું બધું જ ફ્લક્સ સેકન્ડરીમાંથી પસાર થતું નથી. પરિણામે થોડુંક ફ્લક્સ હંમેશાં લીકેજ થાય છે. પ્રાયમરી અને સેકન્ડરીને એકબીજા પર વીટાળીને આ લીકેજ ઘટાડી શકાય છે.
- (ii) વાઈન્ડિંગનો અવરોધ : વાઈન્ડિંગમાં વપરાતા તારને કેટલોક અવરોધ હોય છે. તેથી તારમાં ઉદ્ભબતી ઉભા (I²R) સ્વરૂપે ઉર્જાનો વ્યય થાય છે. વધારે પ્રવાહ અને ઓછા વોલ્ટેજવાળા વાઈન્ડિંગમાં જાડા તારનો ઉપયોગ કરીને આ વ્યય લઘુત્તમ કરી શકાય છે.
- (iii) એડી પ્રવાહ (ધૂમરી પ્રવાહો) : પ્રત્યાવર્તી ચુંબકીય ફ્લક્સ લોખંડના ગર્ભમાં એડી પ્રવાહ પ્રેરિત કરે અને પરિણામે ઉભા ઉત્પન્ન થાય છે. સ્તરો અથવા પછીઓનાં બનેલા ગર્ભનો ઉપયોગ કરીને આ અસર ઘટાડી શકાય છે.
- (iv) હીસ્ટરીસીસ : પ્રત્યાવર્તી ચુંબકીયક્ષેત્રને કારણે ગર્ભનું ચુંબકીકરણ (Magnetisation) વારંવાર ઉલટાઈ જાય છે. પરિણામે ગર્ભમાં ખર્ચાતી ઉર્જા ઉભા સ્વરૂપે દેખાય છે. ઓછા હીસ્ટરીસીસ વ્યય ધરાવતાં ચુંબકીય દ્રવ્યનો ઉપયોગ કરીને આ વ્યય ઘટાડી શકાય છે.

ટ્રાન્સફરોર્મરનો ઉપયોગ કરીને લાંબા અંતરો સુધી વિદ્યુતઊર્જાનું મોટા પાયે પ્રસારણ અને વિતરણ કરવામાં આવે છે. જનરેટરનો આઉટપુટ વોલ્ટેજ સ્ટેપઅપ કરવામાં આવે છે (જેથી પ્રવાહ ઘટે છે અને પરિણામે I^2R વ્યાપક ઘટાડી શકાય છે). ત્યારબાદ તેને લાંબા અંતરે ગ્રાહકોની નજીકના વિસ્તારના સબ-સ્ટેશન સુધી મોકલવામાં આવે છે. ત્યાં વોલ્ટેજ સ્ટેપડાઉન (ઘટાડવામાં) કરવામાં આવે છે. 240 Vનો પાવર પુરવઠો આપકા ઘર સુધી પહોંચે તે પહેલાં વિતરણ-સબસ્ટેશન અને યુટીલીટી પોલ્સ (Utility Poles) (થાંભલા) ખાતે ટ્રાન્સફરોર્મર વડે તેને ફરીથી સ્ટેપડાઉન કરવામાં આવે છે.

સારાંશ

- પ્રત્યાવર્તી એસી વોલ્ટેજ $v = v_m \sin \omega t$ અવરોધ Rને લાગુ પાડતાં તેમાં વહેતો પ્રવાહ $i = i_m \sin \omega t$, $i_m = \frac{v_m}{R}$ હોય છે. પ્રવાહ એ લાગુ પાઢેલ વોલ્ટેજ સાથે સમાન કળામાં હોય છે.

- અવરોધ Rમાંથી પ્રત્યાવર્તી પ્રવાહ $i = i_m \sin \omega t$ પસાર થાય છે ત્યારે જુલ હીટીંગ (ઉઝા)ને કારણે સરેરાશ પાવર વ્યાપ P (એક ચક પર સરેરાશ) $(1/2) i_m^2 R$ હોય છે. તેને રીસી પાવર (P = $I^2 R$)ના સ્વરૂપે રજૂ કરવા માટે પ્રવાહનાં વિશિષ્ટ મૂલ્યનો ઉપયોગ થાય છે. તેને પ્રવાહનાં વર્ગનાં સરેરાશનું વર્ગમૂળ (rms) કહે છે, જેને I વડે દર્શાવાય છે.

$$I = \frac{i_m}{\sqrt{2}} = 0.707 i_m$$

આ જ રીતે, rms વોલ્ટેજ

$$V = \frac{v_m}{\sqrt{2}} = 0.707 v_m \text{ વડે દર્શાવાય છે.}$$

આમ, આપકાને પાવર $P = IV = I^2 R$ મળે છે.

- એસી વોલ્ટેજ $v = v_m \sin \omega t$ શુદ્ધ ઈન્ડક્ટર (પ્રેરક) Lને લાગુ પાડતાં ઈન્ડક્ટરમાં વહેતો પ્રવાહ $i = i_m \sin(\omega t - \pi/2)$ હોય છે. જ્યાં, $i_m = v_m/X_L$. $X_L = \omega L$ ને ઈન્ડક્ટીવ રીએક્ટન્સ કહે છે. ઈન્ડક્ટરમાં પ્રવાહ, વોલ્ટેજ કરતાં કળામાં $\pi/2$ જેટલો પાઇણ હોય છે. ઈન્ડક્ટરને પૂરા પડાતા પાવરનું એક પૂર્ણ ચક પરનું સરેરાશ શૂન્ય હોય છે.
- કેપેસીટરને ac વોલ્ટેજ $v = v_m \sin \omega t$ લાગુ પાડતાં કેપેસીટરમાં પ્રવાહ $i = i_m \sin(\omega t + \pi/2)$ ઉદ્ભબે છે.

$$i_m = \frac{v_m}{X_C}, X_C = \frac{1}{\omega C} \text{ ને કેપેસીટીવ રીએક્ટન્સ કહે છે.}$$

કેપેસીટરમાં પ્રવાહ લાગુ પાડેલ વોલ્ટેજ કરતાં કળામાં $\pi/2$ જેટલો આગળ હોય છે. એક પૂર્ણ ચક પર ઈન્ડક્ટરનાં કિસ્સાની માફક કેપેસીટરને પૂરા પડાતા પાવરનું એક પૂર્ણ ચક પરનું સરેરાશ શૂન્ય હોય છે.

- RLC શ્રેણી પરિપथને લાગુ પાડેલ વોલ્ટેજ $v = v_m \sin \omega t$ હોય ત્યારે પરિપથનો પ્રવાહ નીચેનાં સૂત્રો વડે આપી શકાય છે. $i = i_m \sin(\omega t + \phi)$

$$\text{જ્યાં } i_m = \frac{v_m}{\sqrt{R^2 + (X_C - X_L)^2}}$$

$$\text{અને } \tan \phi = \frac{X_C - X_L}{R}$$

$$Z = \sqrt{R^2 + (X_C - X_L)^2} \text{ ને પરિપથનો ઈમ્પિન્સ કહે છે.}$$

પ્રત્યાવર્તી પ્રવાહ

એક પૂર્ણ ચક્ક પર સરેરાશ પાવર વ્યય નીચે મુજબ આપવામાં આવે છે.

$$P = VI \cos\phi$$

$\cos\phi$ પદને પાવર ફેક્ટર કહે છે.

6. શુદ્ધ કેપેસીટીવ અથવા ઈન્ડક્ટિવ પરિપથમાં $\cos\phi = 0$ હોય છે અને પરિપથમાંથી પ્રવાહ પસાર થવા છતાંય પાવર વ્યય થતો નથી. આવા ડિસ્સાઓમાં પ્રવાહ, વોટલેસ પ્રવાહ તરીકે ઓળખાય છે.
 7. ફેઝ તરીકે ઓળખાતા ધૂમતા સદિશો વડે વોલ્ટેજ અને પ્રવાહની રજૂઆત દ્વારા એસી પરિપથમાં પ્રવાહ અને વોલ્ટેજ વચ્ચેનો કળા સંબંધ સરળતાથી દર્શાવી શકાય છે. ફેઝ એક સંદિશ છે, જે ઉગમબંધુની આસપાસ ય કોણીય ઝડપથી બ્રમણ કરે છે. ફેઝનું માન ફેઝ વડે દર્શાવેલ રાશિ (વોલ્ટેજ અથવા પ્રવાહ)નો કંપવિસ્તાર અથવા મહત્તમ મૂલ્ય દર્શાવે છે. ફેઝ રાયાગ્રામ વડે ac પરિપથનું વિશ્લેષણ કરાય છે.
 8. અનુનાદની ઘટના RLC શ્રેષ્ઠી પરિપથની એક રસપ્રદ લાક્ષણિકતા છે. પરિપથ અનુનાદ દર્શાવે છે એટલે કે અનુનાદીય કોણીય આવૃત્તિ, $\omega_0 = \frac{1}{\sqrt{LC}}$ માટે પ્રવાહનો કંપવિસ્તાર મહત્તમ હોય છે,
 9. જે પરિપથમાં ac સોત અને અવરોધ ન હોય પરંતુ ઈન્ડક્ટર L અને કેપેસીટર C (પ્રારંભમાં વિદ્યુતભારિત) હોય તેવો પરિપથ મુક્ત દોલનો દર્શાવે છે. કેપેસીટર પરનો વિદ્યુતભાર q સરળ આવર્તનિ સમીકરણ
 10. ટ્રાન્સફોર્મર લોખંડનાં ગર્ભ ધરાવે છે, જેના પર વિટળાયેલ N_p , આંટા ધરાવતી પ્રાથમિક ગૂંચળામાં અને N_s આંટા ધરાવતું ગૌણ ગૂંચળનું વિટાળેલ હોય છે. જો પ્રાથમિક ગૂંચળા સાથે ac સોત જોડેલ હોય તો પ્રાથમિક અને ગૌણ વોલ્ટેજ વચ્ચેનો સંબંધ નીચે મુજબ છે.
- $V_s = \left(\frac{N_s}{N_p} \right) V_p$ અને પ્રવાહનો સંબંધ
- $I_s = \left(\frac{N_p}{N_s} \right) I_p$
- જો પ્રાથમિક કરતાં ગૌણ ગૂંચળામાં આંટાની સંખ્યા વધુ હોય તો વોલ્ટેજ સ્ટેપઅપ ($V_s > V_p$) થાય છે. આ પ્રકારની ગોઠવણીને સ્ટેપઅપ ટ્રાન્સફોર્મર કહે છે. જો પ્રાથમિક કરતાં ગૌણ ગૂંચળામાં આંટાની સંખ્યા ઓછી હોય તો સ્ટેપડાઉન ટ્રાન્સફોર્મર મળે છે.



ભૌતિકરાશિ	સંખા	પરિમાણ	એકમ	નોંધ
rms વોલ્ટેજ	V	$[ML^2T^{-3}A^{-1}]$	V	$V = \frac{v_m}{\sqrt{2}}$, v_m ac વોલ્ટેજનો કુપવિસ્તાર છે.
rms પ્રવાહ	I	[A]	A	$I = \frac{i_m}{\sqrt{2}}$, i_m ac પ્રવાહનો કુપવિસ્તાર છે.
રીએક્ટન્સ :				
ઈન્ડક્ટીવ	X_L	$[ML^2T^{-3}A^{-2}]$	Ω	$X_L = \omega L$
કેપેસીટીવ	X_C	$[ML^2T^{-3}A^{-2}]$	Ω	$X_C = 1/\omega C$
ઇમ્પિન્સ	Z	$[ML^2T^{-3}A^{-2}]$	Ω	પરિપથમાં હાજર ઘટકો પર આધારિત છે.
અનુભાદ	ω_r અથવા ω_0	$[T^{-1}]$	Hz	$\omega_0 = \frac{1}{\sqrt{LC}}$ RLC શ્રેણી પરિપથ માટે
કવોલિટી ફેક્ટર	Q	પરિમાણરહિત		$Q = \frac{\omega_0 L}{R} = \frac{1}{\omega_0 C R}$, RLC શ્રેણી પરિપથ માટે
પાવર ફેક્ટર		પરિમાણરહિત		$= \cos \phi$, ϕ લાગુ પાઠેલ વોલ્ટેજ અને પરિપથના પ્રવાહ વચ્ચેનો કળા તફાવત છે.

ગણન વિચારણાના મુદ્દાઓ

- ac વોલ્ટેજ અથવા પ્રવાહનાં આપેલાં મૂલ્યો સામાન્ય રીતે તેનાં rms મૂલ્યો છે. તમારા ઓરડામાં લગાવવામાં આવેલ સ્વીચબોર્ડમાં જોડાણ અગ્રો વચ્ચે વોલ્ટેજ સામાન્ય રીતે 240V હોય છે. જે વોલ્ટેજનું rms મૂલ્ય સૂચવે છે. આ વોલ્ટેજનું મહત્તમ મૂલ્ય $v_m = \sqrt{2} V = 340V$ છે.
- ac પરિપથમાં વપરાતાં ઘટકોની પાવર રેટિંગ (શક્તિક્ષમતા) તેનું સરેરાશ પાવર રેટિંગ સૂચવે છે.
- ac પરિપથમાં વપરાતો (ખર્ચતો) પાવર ક્યારેય ઝણ નથી હોતો.
- ac પ્રવાહ અને dc પ્રવાહ બંનેનું માપન એમ્પિયરમાં થાય છે. પરંતુ ac પ્રવાહ માટે એમ્પિયર કેવી રીતે વ્યાખ્યાયિત કરી શકાય ? dc એમ્પિયર જે રીતે સાધિત થાય છે તે રીતે ac પ્રવાહધારિત બે સમાંતર વાહકતારો વચ્ચે પ્રવર્તતા આકર્ષણબળ વડે તે સાધિત થઈ શકતો નથી. સોતની આવૃત્તિ જેટલી જ આવૃત્તિથી ac પ્રવાહ તેની દિશા બદલે છે અને આકર્ષણબળનું સરેરાશ મૂલ્ય શુન્ય બને છે. આમ, પ્રવાહની દિશાથી સ્વતંત્ર હોય

પ્રત્યાવર્તી પ્રવાહ

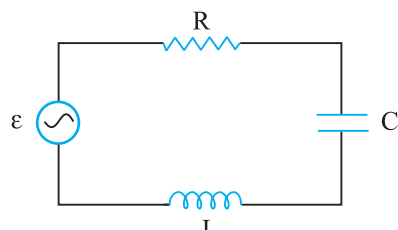
તેવા કોઈ ગુણવર્મના પદમાં ac ઓમ્પિયરને વ્યાખ્યાયિત કરવો જોઈએ. જુલ હીટોંગ (ઉઝા) આવો એક ગુણવર્મ છે, પરિપથમાં પ્રત્યાવર્તી પ્રવાહનું એક ઓમ્પિયર rms મૂલ્ય એટલે આ પ્રવાહ વડે ઉદ્ભવતી સરેરાશ ઉભીય અસર આવી જ સમાન પરિસ્થિતિમાં એક ઓમ્પિયર dc પ્રવાહ વડે ઉદ્ભવતી સરેરાશ ઉભીય અસર જેટલી હોય.

5. એસી પરિપથમાં જો જુદા-જુદા ઘટકોના બે છેડા વચ્ચે વોલ્ટેજ ઉમેરવો હોય તો આપણે તેમની કળાઓનું યોગ્ય ધ્યાન રાખવું જોઈએ. ઉદાહરણ તરીકે, RC પરિપથમાં જો R અને Cનાં બે છેડાઓ વચ્ચેનો વોલ્ટેજ અનુકૂળે V_R અને V_C હોય તો RC સંયોજન વચ્ચેનો ફુલ વોલ્ટેજ $V_{RC} = \sqrt{V_R^2 + V_C^2}$ છે, પરંતુ $V_R + V_C$ નથી કારણ કે V_R અને V_C વચ્ચે $\pi/2$ જેટલો કળા તફાવત છે.
6. ફેઝર ડાયાગ્રામમાં વોલ્ટેજ અને પ્રવાહને સદિશ સ્વરૂપે રજૂ કરાય છે. પરંતુ ખરેખર આ રાશિઓ પોતે સદિશ નથી, તે અદિશ રાશિઓ છે. આવર્ત રીતે (હાર્મોનિકલી) બદલાતી અદિશ રાશિઓમાં કંપવિસ્તાર અને કળાનું ગાણિતીક સંયોજન એવી રીતે જ થાય છે કે જેવી રીતે અનુરૂપ માન અને દિશા ધરાવતા ધૂમતા સદિશના પ્રક્ષેપોનું સંયોજન થાય છે. આપણે અગાઉથી જાણીએ છીએ તે સદિશ સંયોજનનાં નિયમોનો ઉપયોગ કરીને રાશિઓનું સંયોજન કરવાની એક સરળ રીત મળે તે માટે આવર્ત રીતે (હાર્મોનિકલી) બદલાતી જતી રાશિઓને ધૂમતા સદિશો દ્વારા રજૂ કર્યા છે.
7. ac પરિપથમાં શુદ્ધ ઈન્ડક્ટર અને શુદ્ધ કેપેસીટર સાથે સંકળાયેલ પાવર વ્યય શૂન્ય હોય છે. ac પરિપથમાં ફક્ત અવરોધ જ એવો ઘટક છે જેમાં ઊર્જાનો વ્યય થાય છે.
8. RLC પરિપથમાં જ્યારે $X_L = X_C$ અથવા $\omega_0 = \frac{1}{\sqrt{LC}}$ થાય ત્યારે અનુનાદની ઘટના ઉદ્ભવે છે. અનુનાદ ઉદ્ભવવા માટે પરિપથમાં L અને C બંને ઘટકોની હાજરી હોવી અનિવાર્ય છે. આ ઘટકો (L અથવા C) પૈકી કોઈ એક જ ઘટક હોય તો વોલ્ટેજ નાભુદ થવાની શક્યતા રહેતી નથી અને તેથી અનુનાદ શક્ય નથી.
9. RLC પરીપથમાં પાવર ફેક્ટર, પરિપથ તેના દ્વારા વપરાતા મહત્તમ પાવરની કેટલો નજીક છે તેનું માપ સૂચવે છે.
10. જનરેટર અને મોટરમાં ઈન્પુટ અને આઉટપુટની ભૂમિકાઓ ઉલ્લાયેલી છે. મોટરમાં વિદ્યુતગીર્જ ઈન્પુટમાં હોય છે અને યાંત્રિકગીર્જ આઉટપુટમાં હોય છે. જનરેટરમાં યાંત્રિકગીર્જ ઈન્પુટમાં હોય છે અને વિદ્યુતગીર્જ આઉટપુટમાં હોય છે. બંને ઉપકરણો સહેલાઈથી ઊર્જાના એક સ્વરૂપનું બીજા સ્વરૂપમાં રૂપાંતર કરે છે.
11. ટ્રાન્સફોર્મર (સ્ટેપઅપ) નીચા વોલ્ટેજને ઊંચા વોલ્ટેજમાં પરિવર્તિત કરે છે. તેમાં ઊર્જા સંરક્ષણના નિયમનું ઉલ્લંઘન થતું નથી. પ્રવાહ તે જ પ્રમાણમાં ઘટે છે.
12. દોલિત ગતિનું વર્ણન કરવા માટે sine અથવા cosine અથવા તેમના રેખીય સંયોજનની પસંદગી અગત્યની નથી. કારણ કે, શૂન્ય-સમયનું સ્થાન બદલતાં તેઓ એકથી બીજામાં રૂપાંતર પામે છે.



સ્વાધ્યાય

- 7.1 200 V, 50 Hz ac સપ્લાય સાથે 100Ω અવરોધ જોડેલ છે.
 (a) પરિપथમાં પ્રવાહનું rms મૂલ્ય શું હશે ?
 (b) એક પૂર્ણ ચક દરમિયાન ખર્ચાતો કુલ (ઓઝ્ઝો, Net) પાવર કેટલો હશે ?
- 7.2 (a) ac સપ્લાયના વોલ્ટેજનું મહત્તમ મૂલ્ય 300 V છે. તેનો rms વોલ્ટેજ કેટલો હશે ?
 (b) ac પરિપથમાં પ્રવાહનું rms મૂલ્ય 10 A છે. તેનું મહત્તમ મૂલ્ય કેટલું હશે ?
- 7.3 220V, 50Hzના ac સ્લોટ સાથે 44 mHનું ઈન્ડક્ટર જોડેલ છે. પરિપથમાં પ્રવાહનું rms મૂલ્ય શોધો.
- 7.4 110V, 60Hzના ac સ્લોટ સાથે 60 μF નું કેપેસીટર જોડેલ છે. પરિપથમાં પ્રવાહનું rms મૂલ્ય શોધો.
- 7.5 સ્વાધ્યાય 7.3 અને 7.4માં એક પૂર્ણ ચક દરમિયાન દરેક પરિપથમાં શોષાતો ઓઝ્ઝો પાવર કેટલો હશે ? તમારા જવાબની સમજૂતી આપો.
- 7.6 $L = 2.0 H$, $C = 32 \mu F$ અને 10Ω વાળા LCR શ્રેણી પરિપથ માટે અનુનાદ આવૃત્તિ ω , મેળવો. આ પરિપથનું Q મૂલ્ય કેટલું હશે ?
- 7.7 27 mH ઈન્ડક્ટર સાથે $30 \mu F$ નું સંપૂર્ણ વિદ્યુતભારિત કેપેસીટર જોડેલ છે. તો પરિપથમાં થતાં મુક્ત દોલનોની કોણીય આવૃત્તિ કેટલી હશે ?
- 7.8 સ્વાધ્યાય 7.7માં કેપેસીટર પરના પ્રારંભિક વિદ્યુતભારનું મૂલ્ય ધારોકે 6 mC છે. તો પ્રારંભમાં પરિપથમાં સંગ્રહિત કુલ ઊર્જા કેટલી હશે ? પણીનાં કોઈ સમયે કુલ ઊર્જા કેટલી હશે ?
- 7.9 $R = 20 \Omega$, $L = 1.5 \text{ H}$ અને $C = 35 \mu F$ ધરાવતાં LCR શ્રેણી પરિપથ સાથે ચલિત (બદલી શકાય તેવી) આવૃત્તિવાળો 200 V ac સપ્લાય જોડેલ છે. જ્યારે સપ્લાયની આવૃત્તિ પરિપથની પ્રાકૃતિક આવૃત્તિ જેટલી થાય ત્યારે એક પૂર્ણ ચક દરમિયાન પરિપથમાં રૂપાંતર પામતો સરેરાશ પાવર કેટલો હશે ?
- 7.10 એક રેડિયો MW બ્રોડકાસ્ટ બેન્ડ (800 kHz થી 1200 kHz) આવૃત્તિનાં ગાળામાં ટ્યુન કરી શકાય છે. જો તેના L C પરિપથમાં $200 \mu H$ નું અસરકારક ઈન્ડક્ટર હોય તો તેનાં ચલ કેપેસીટરની રેઝ કેટલી હોવી જોઈએ ?
 (HINT : ટ્યુનિંગ કરવા માટે પ્રાકૃતિક આવૃત્તિ એટલે કે LC પરિપથમાં મુક્ત દોલનોની આવૃત્તિ રેડિયો તરંગની આવૃત્તિ જેટલી થવી જોઈએ.)
- 7.11 આફ્ક્ષતિ 7.21 મુજબ ચલિત (બદલી શકાય તેવી) આવૃત્તિવાળો 230 V ac સ્લોટ LCR પરિપથ સાથે જોડેલ છે. $L = 5.0 \text{ V}$, $C = 80 \mu F$, $R = 40 \Omega$ છે.



આફ્ક્ષતિ 7.21

- (a) પરિપથને અનુનાદની સ્થિતિમાં લાવવા માટે સ્લોટની આવૃત્તિ નક્કી કરો.
 (b) અનુનાદ આવૃત્તિએ પરિપથનો ઈમ્પિડન્સ અને પ્રવાહનો કંપવિસ્તાર શોધો.
 (c) પરિપથનાં ગ્રાણીય ઘટકોનાં બે છેડા વર્ષેનો rms વોલ્ટેજ (સ્થિતિમાન તફાવત) શોધો. દર્શાવો કે અનુનાદ આવૃત્તિઓ L C સંયોજનના બે છેડા વર્ષેનો સ્થિતિમાન તફાવત (વોલ્ટેજ ડ્રોપ) શૂન્ય છે.